

UPF  
Eng. Elétrica

Controle  
Automático

III

Prof. Dr. Eng.  
Fernando Passold



Objetivo: testar/projetar controladores clássicos sobre uma mesma planta comparando resultados na forma de uma tabela e gráfico de respostas temporais.

Os controladores à serem testados são:

- 1) Proporcional;
- 2) PI
- 3) PI + Zero
- 4) PI + Pólos Dominantes
- 5) Lag (Atraso)
- 6) Lead (Avanço)
- 7) PD
- 8) PID
- 9) Lead-Lag

Objetivo Geral:

Projetos de  
Controladores  
Clássicos, formato  
digital, usando  
como ferramenta:  
Lugar das Raízes.

ESTUDO DE CASO

# Resumo sobre Papel/Objetivo de cada Controlador:

- 1) Proporcional;
- 2) PI
- 3) PI + Zero
- 4) PI + Pólos Dominantes
- 5) Lag (Atraso)
- 6) Lead (Avanço)
- 7) PD
- 8) PID
- 9) Lead-Lag

# Soluções Parciais

Planta adotada:

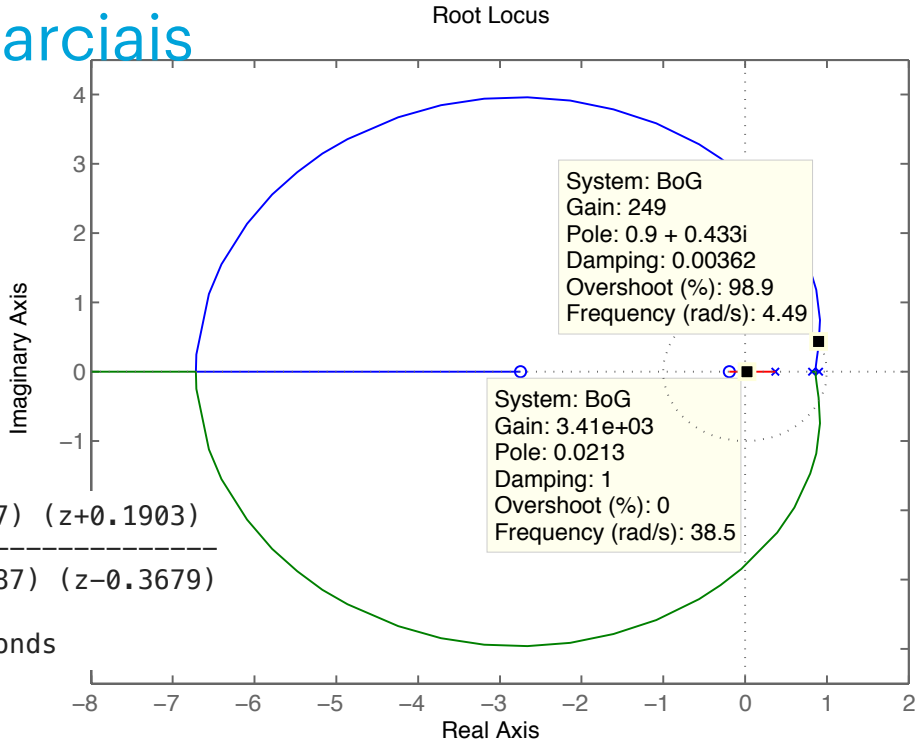
>> zpk(G)

$$\frac{1}{(s+10)(s+2)(s+1)}$$

BoG(z):

$$\frac{0.00012224(z+2.747)(z+0.1903)}{(z-0.9048)(z-0.8187)(z-0.3679)}$$

Sample time: 0.1 seconds



Requisitos de controle: %OS < 5%

ts < metade do tempo de assentamento do controlador proporcional.

Determinando fator de amortecimento, zeta, com base em %OS:

>> zeta=(-log(OS/100))/(sqrt(pi^2+(log(OS/100)^2)))  
zeta = 0.6901

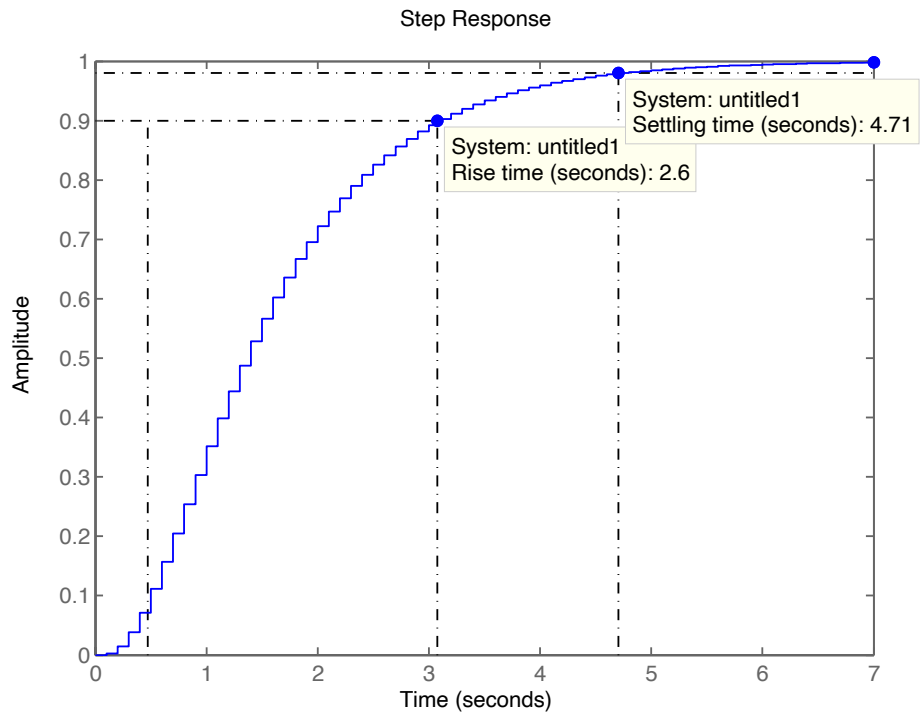
Notar ganho da planta para entrada degrau unitário:

>> degain(BoG)

0.0500

Note: não é unitário!

Resposta em Malha-aberta:



# 1a-Parte: fechar malha de realimentação com controlador Proporcional.

Obtendo RL para BoG(z) e sobrepondo linha com zeta = 0,6901:

$K_1 = 16.7499$

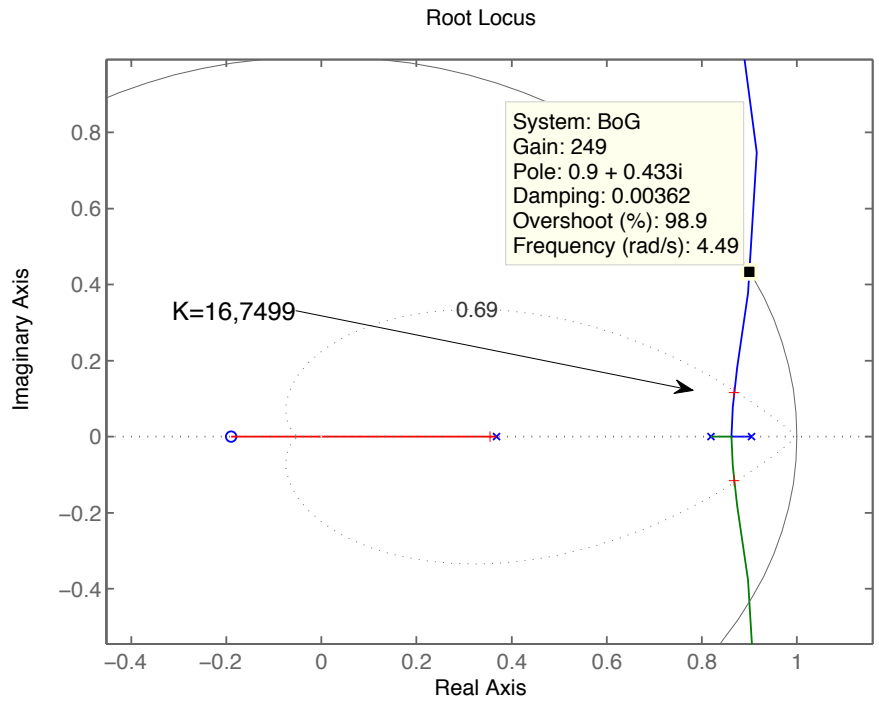
Ganho DC da FTMF ?  
 >> dcgain(ftmf1)

0.4572

Verificando resposta ao degrau para saída  $y(\infty) = 1,0$ :

```
>> figure; step(1/ans*ftmf1)
>> 1/ans
```

2.1874 ← Amplitude do degrau!



$$BoG(z) = \frac{0.00012224 (z+2.747) (z+0.1903)}{(z-0.9048) (z-0.8187) (z-0.3679)}$$

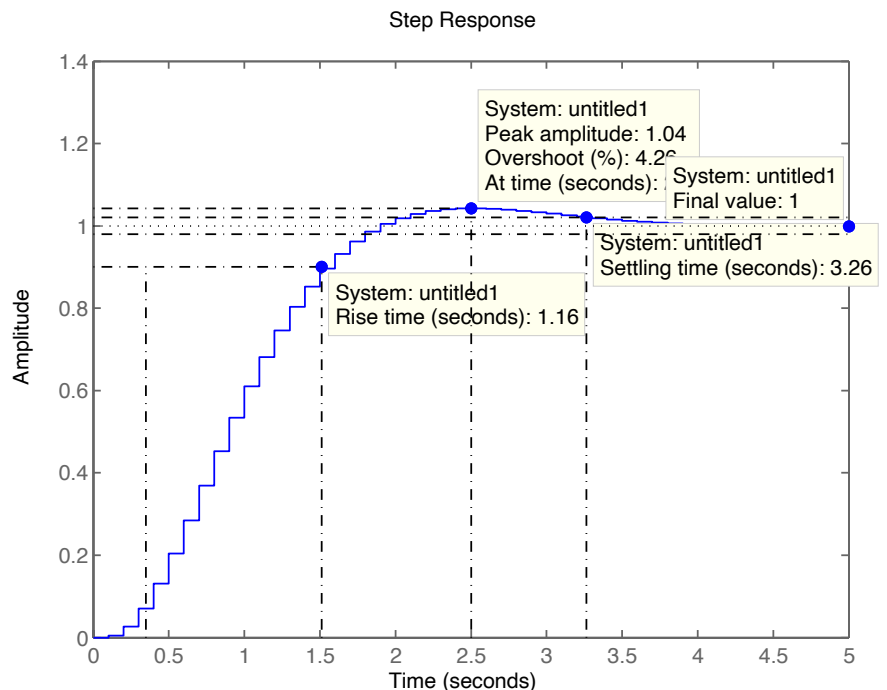
Determinar erro de regime permanente → ?

$ts_1 = 3,26$  segundos

Para próximos controladores:

$ts\_desejado = 3,26 / 2 = 1,63$  (máximo).

Continua.

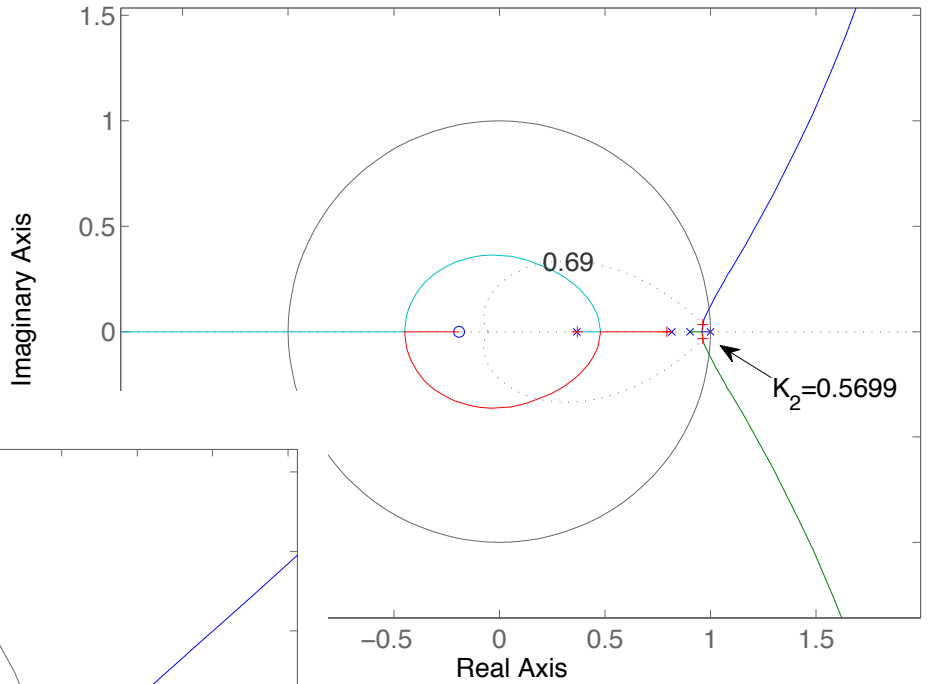


## 2) Controlador Integrador "puro":

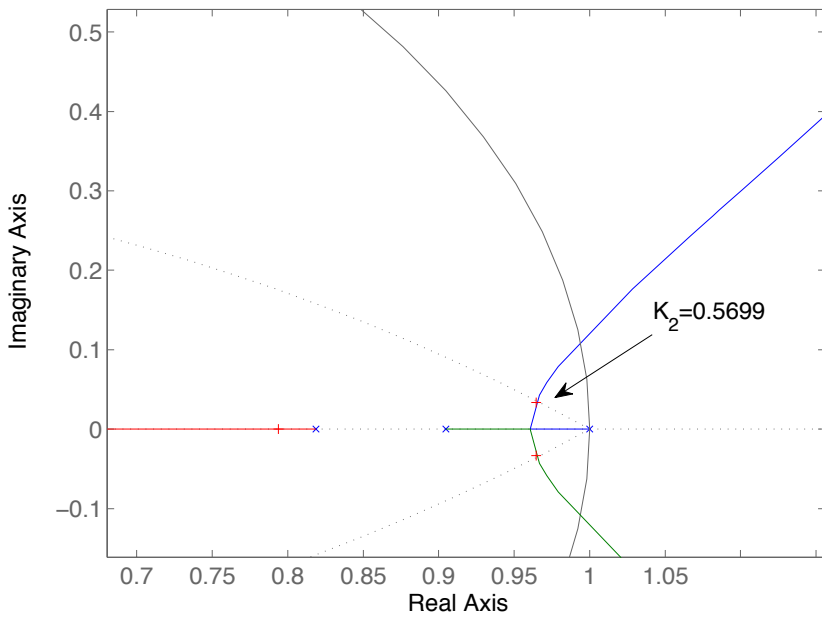
$$C_2(z) = \frac{1}{(z-1)}$$

RL resultante:  
 $K_2 = 0,5699$

Root Locus



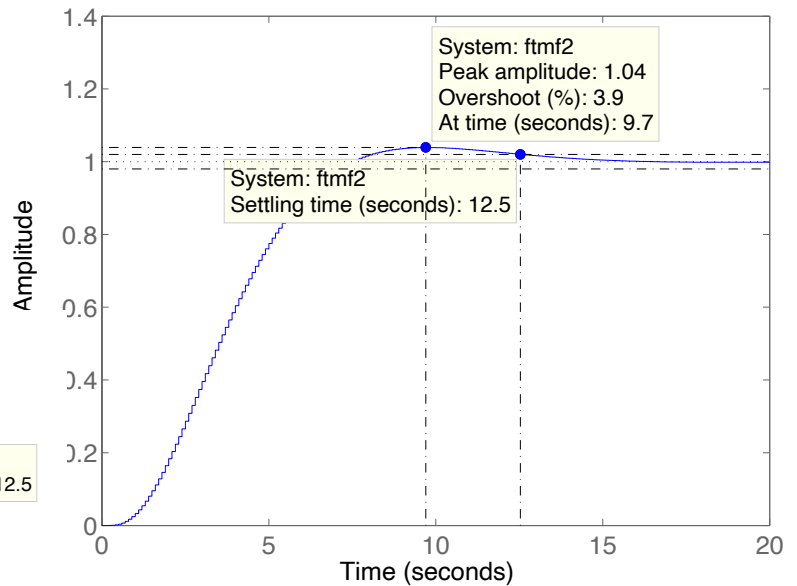
Root Locus



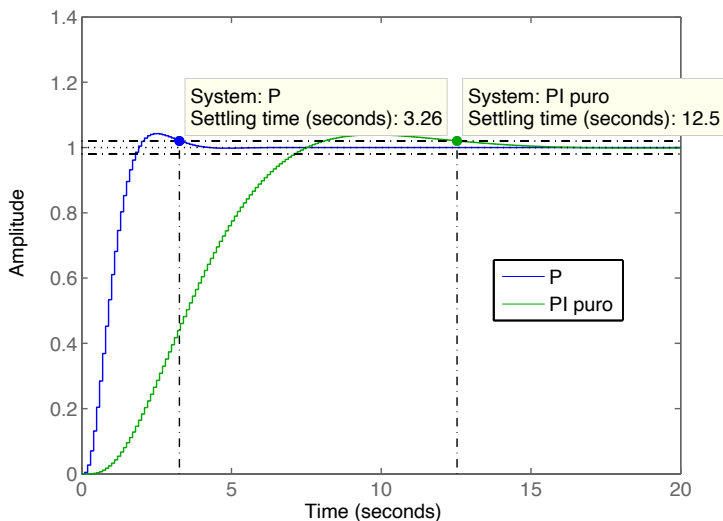
$$BoG(z) = \frac{0.00012224 (z+2.747) (z+0.1903)}{(z-0.9048) (z-0.8187) (z-0.3679)}$$

Resposta do sistema:  
 $t_s = 12,5$   
 $\%OS = 3,9\%$

Step Response



Step Response



### 3) Controlador PI = P+I

(zero "extra":)

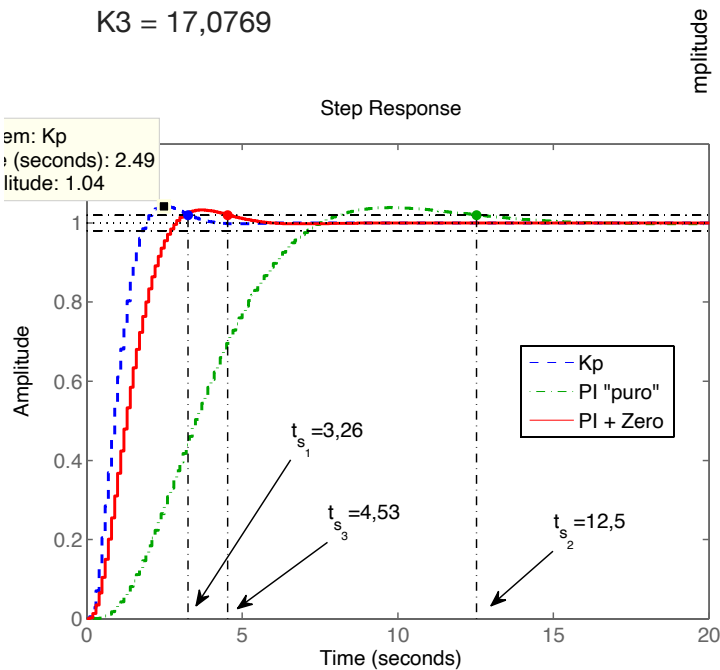
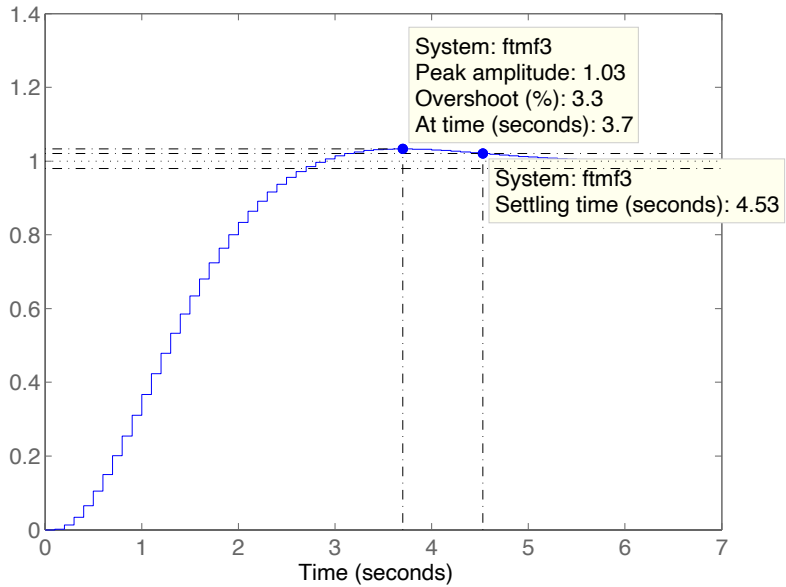
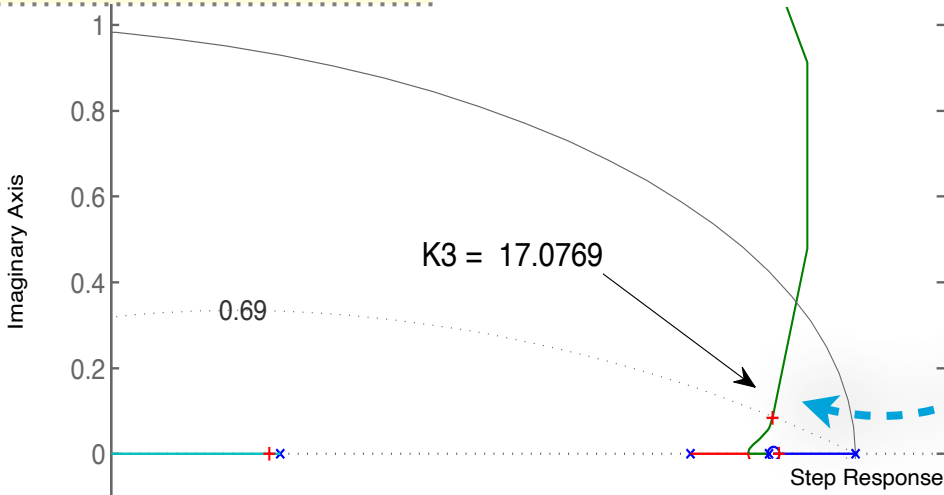
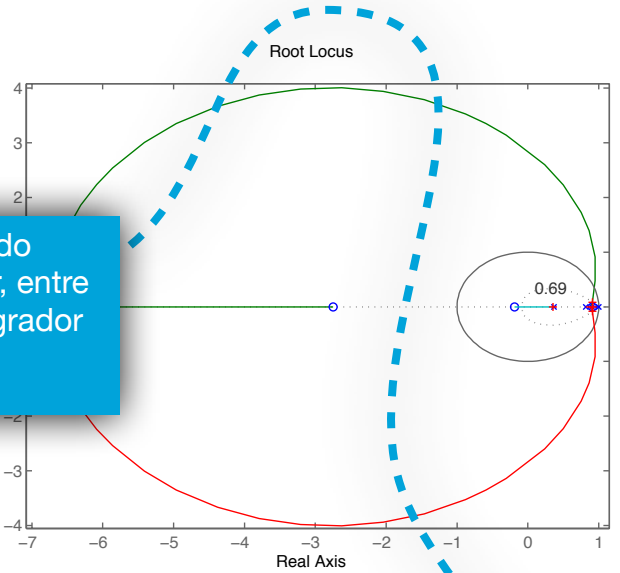
$$C(z) = K_p + \frac{K_i}{(z-1)} = \frac{K_p z - K_p + K_i}{(z-1)}$$

$$C(z) = \frac{K_p \left[ z - \left( 1 - \frac{K_i}{K_p} \right) \right]}{(z-1)}$$

$$C(z) = \frac{K(z-0,91)}{(z-1)}$$

Note: zero do controlador, entre o pólo integrador e o pólo

$$BoG(z) = \frac{0.00012224 (z+2.747) (z+0.1903)}{(z-0.9048) (z-0.8187) (z-0.3679)}$$

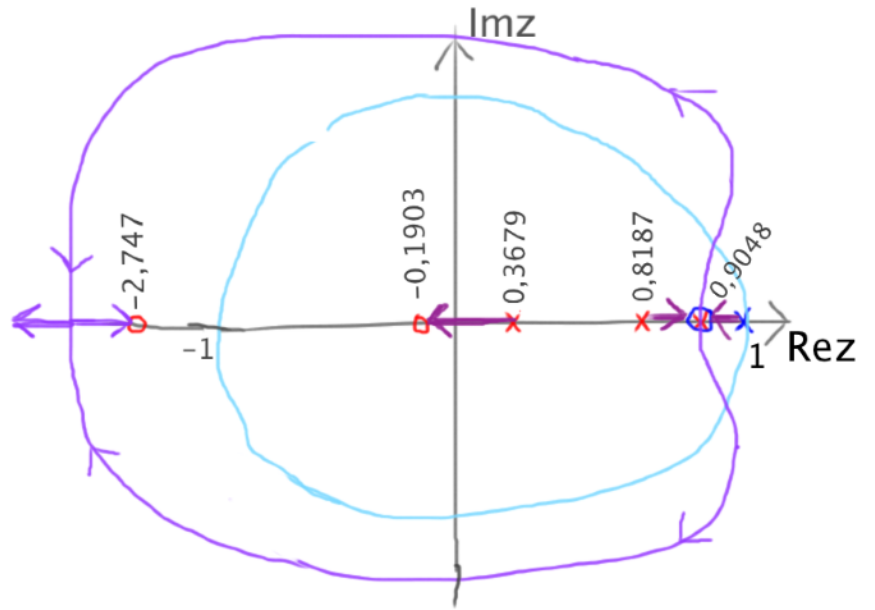


Resposta MF resultante:  
 ts = 4,53  
 %OS = 3,3

4) Controlador PI + cancelamento do pólo dominante da planta

Idéia:

$$C4(z) = \frac{K4 (z - 0,9048)}{(z - 1)}$$



Fica + rápido ?

$$BoG(z) = \frac{0.00012224 (z+2.747) (z+0.1903)}{(z-0.9048) (z-0.8187) (z-0.3679)}$$

Resultados...

$K = 16,1225$

$ts = 11,3$  segundos (piora)....

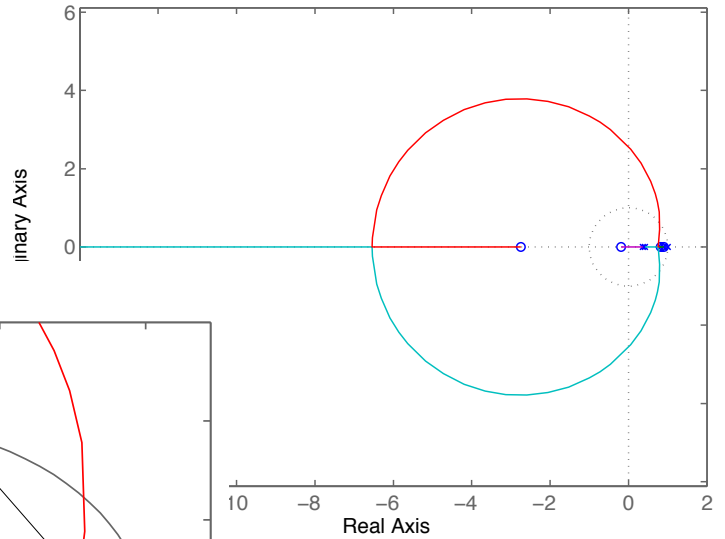
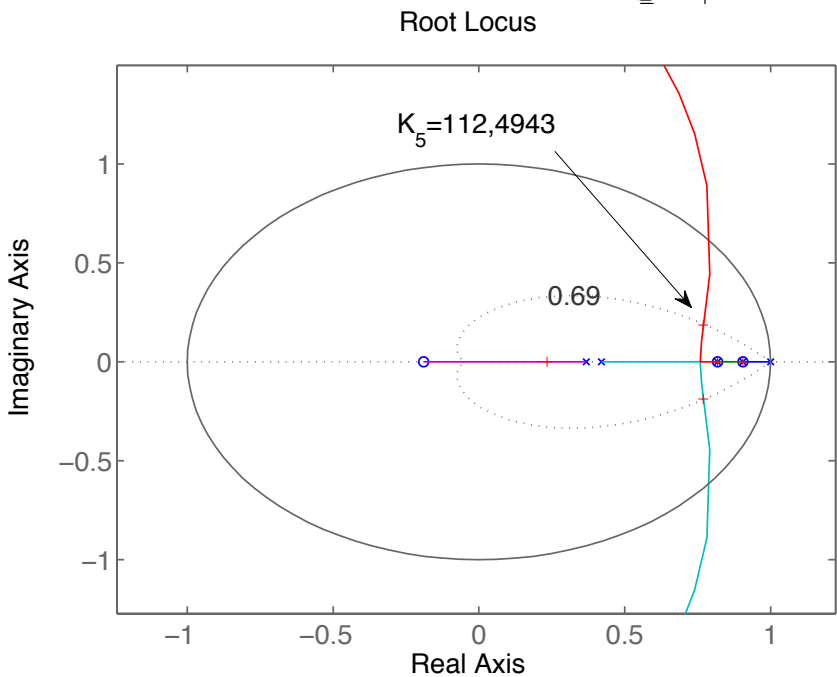
### 5) Controlador PI com cancelamento de 2 pólos dominantes

$$C5(z) = \frac{K5 * (z-0.9048) (z-0.8187)}{(z-1) (z-0.42)}$$

$$BoG(z) = \frac{0.00012224 (z+2.747) (z+0.1903)}{(z-0.9048) (z-0.8187) (z-0.3679)}$$

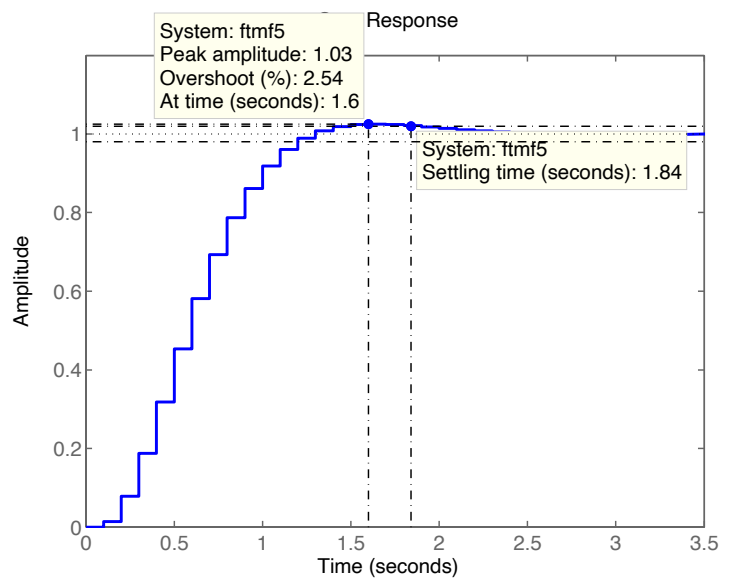
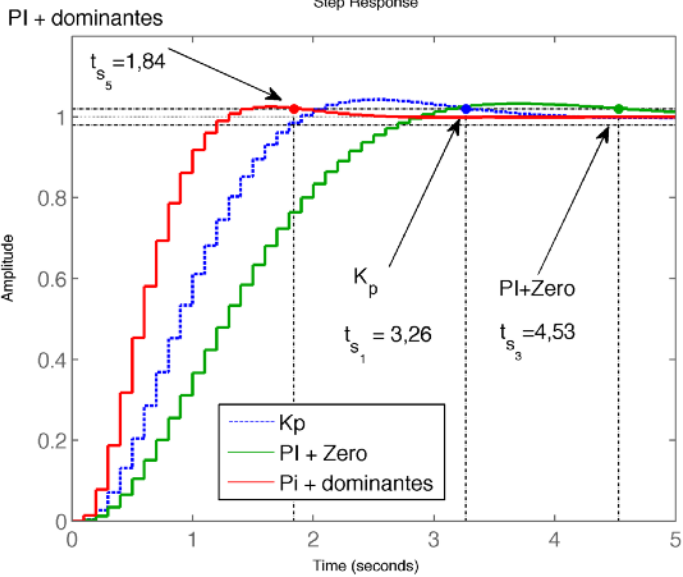
Resultados:

K5 = 112.4943



Questão ?  
 Onde deveria ficar o pólo "extra" de C5(z) ?  
 Resposta: Calcular contribuição dos ângulos no RL.

ts = 1,84 segundos.  
 %OS = 2,54%



### 6) Controlador por Atraso (Lag)



Comentários:  
 localizando zero deste controlador na mesma localização do zero usado no projeto do PI – idéia final é comparar o desempenho deste controlador com os anteriores (PI + Zero, PI + Pólos Dominantes, PI + Lag).

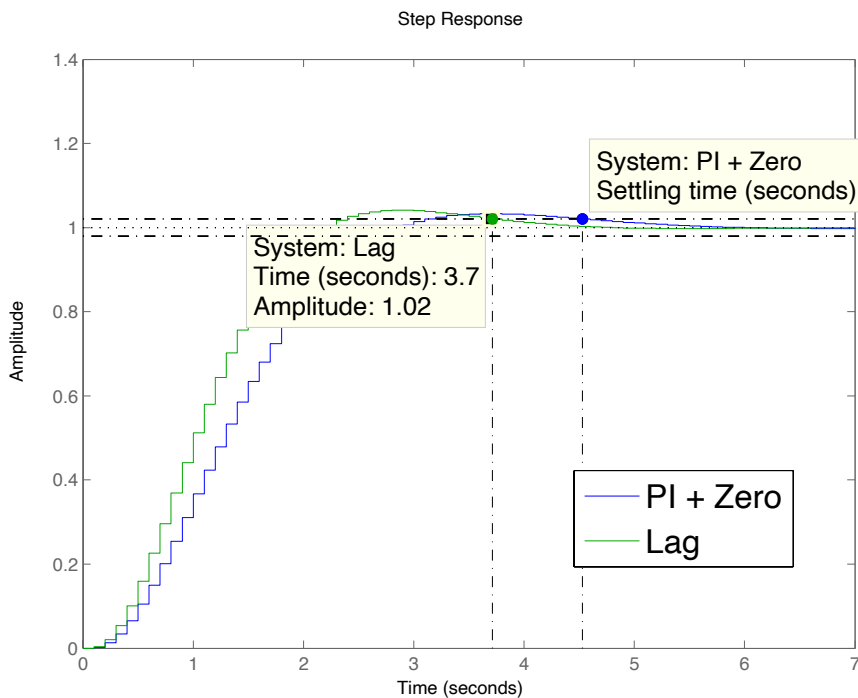
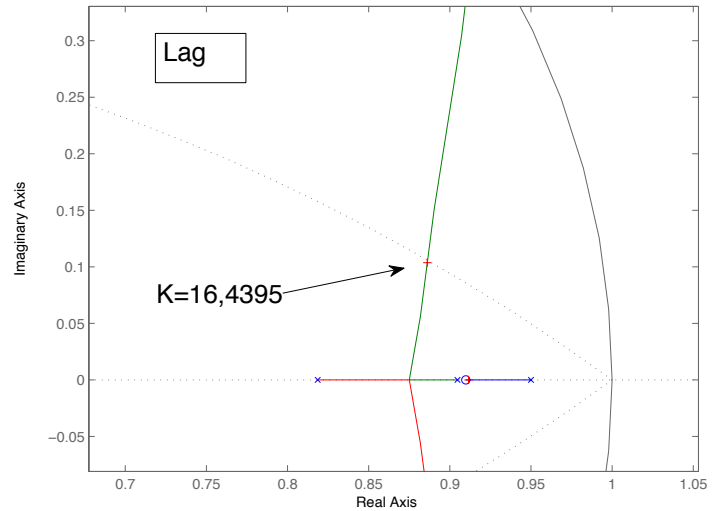
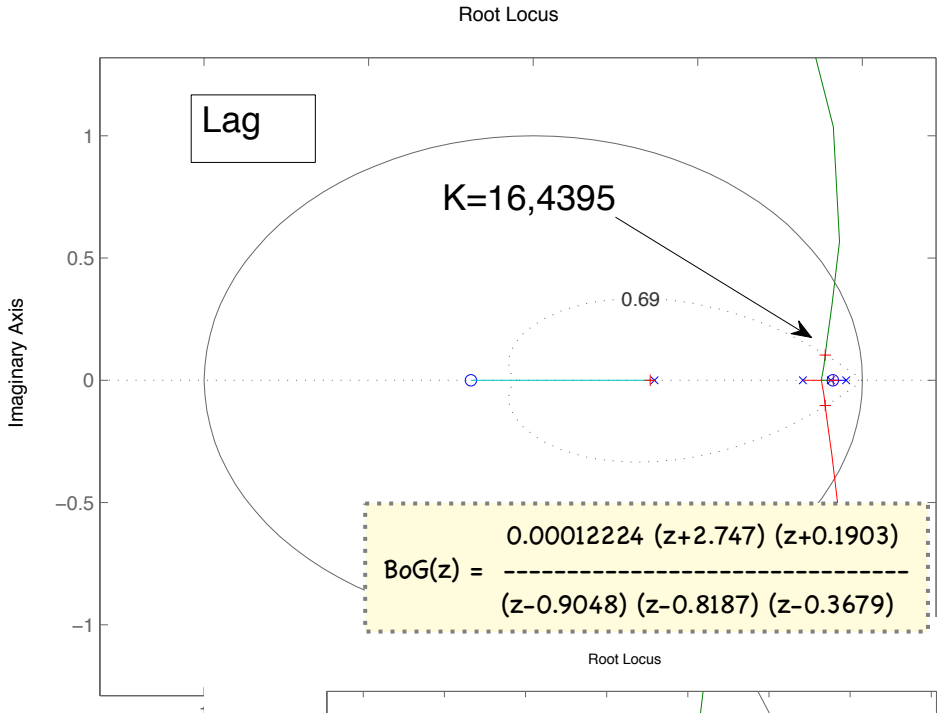
$$C6(z) = \frac{(z-0.91)}{(z-0.95)}$$

RL resultante:

Resposta resultante:

Detalhes:  
 >> dcgain(ftmf6)  
 0.5967

Amplitude do degrau:  
 >> K6degrau  
 1.6759



ts<sub>6</sub> = 3,7  
 %OS = 4,18% (2,8 seg)

Um pouco + rápido que PI com Zeros (conforme esperado, mas erro nulo em regime permanente?)

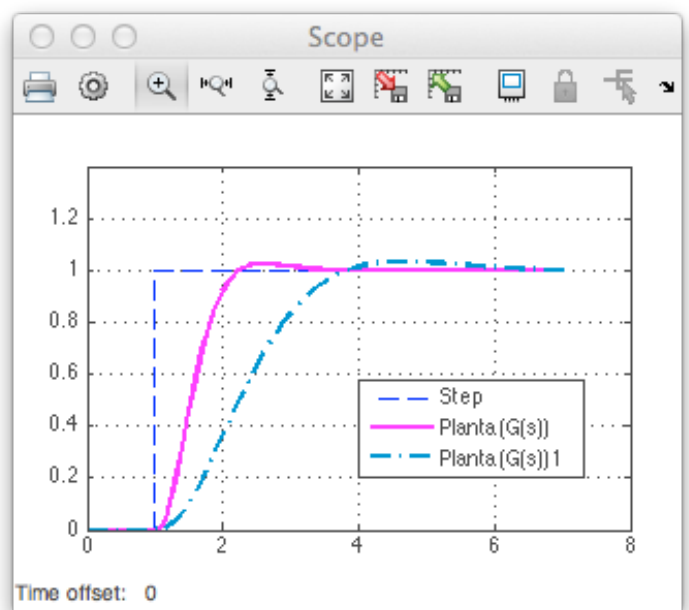
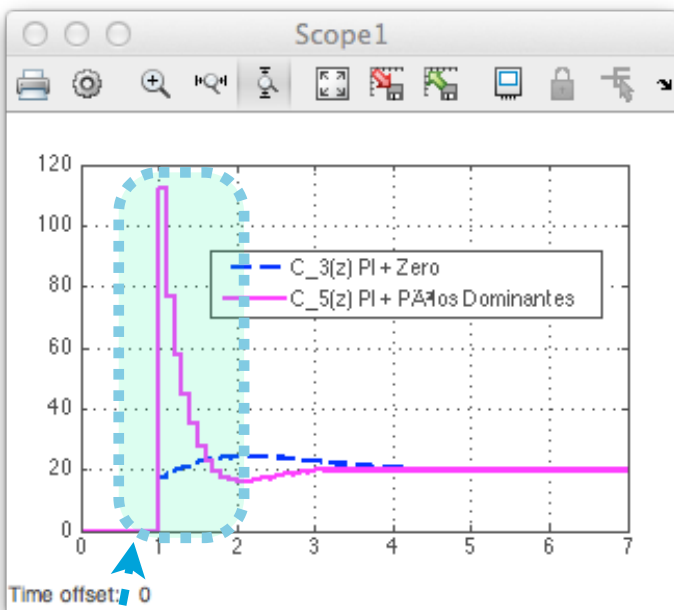
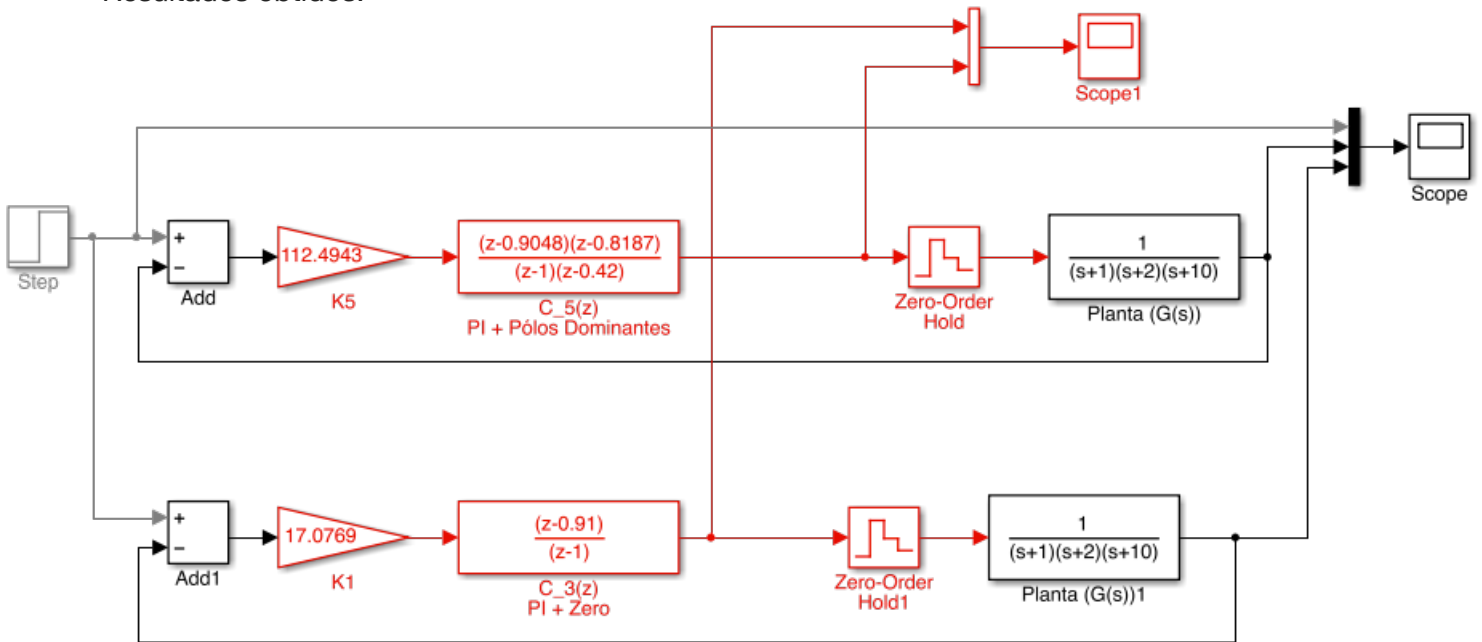
E se o zero do controlador anterior estivesse localizado mais próximo da origem do plano-z ?

“Encerrando” parte dos controladores com ação integral + controlador por atraso (Lag) (integrador aproximado, pólo próximo de  $z=1$ ), verificando aplicabilidade prática do controlador PI com cancelamento de pólos dominantes:

Comentários:

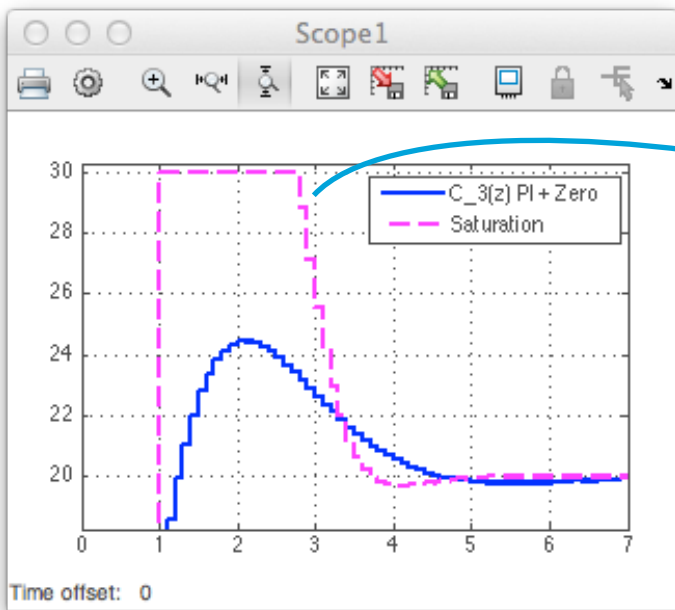
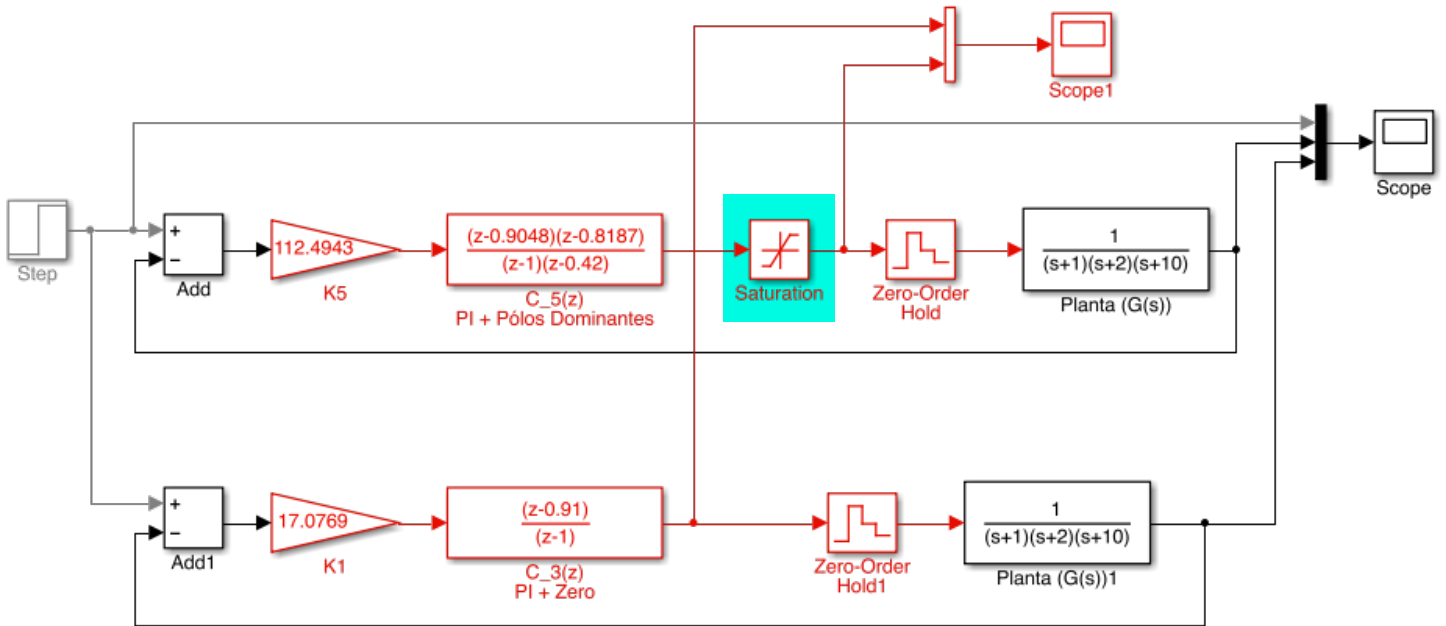
- altamente provável que ação de controle do PI + pólos dominantes desenvolva amplitudes excessivas, na prática, causando saturação do D/A ou driver de potência na saída do controlador. Comprovando resultados com simulação no Simulink:

Resultados obtidos:

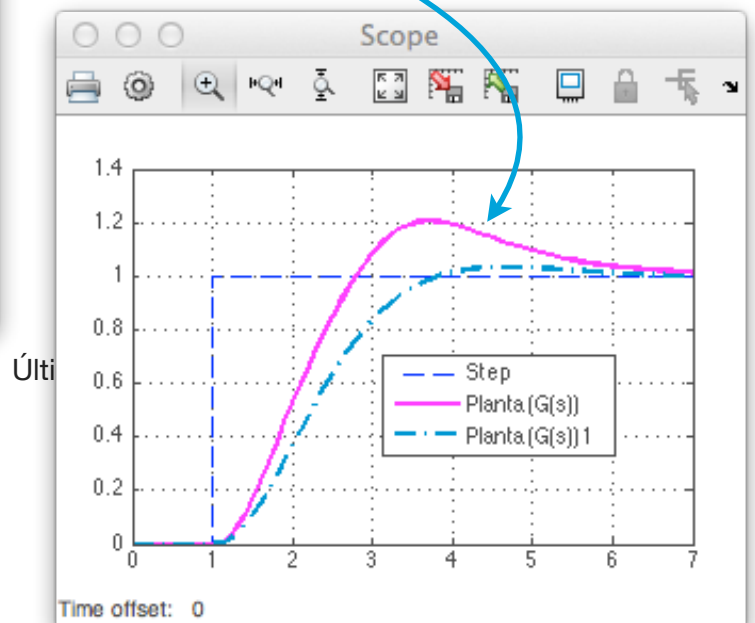


Sinal de controle com amplitudes excessivas (provável saturação do Driver de Potência)

Resultado provável, estipulando saturação do driver de potência em +/- 30,0 (introdução do bloco saturador):



Atraso na resposta



- Calcular  $e(\infty) = ?$  (cte ou = 0) ?

# Controlador Dead-Beat:

A planta convertida para o formato digital resulta em:

$$BoG(z) = \frac{0.00012224 (z+2.747) (z+0.1903)}{(z-0.9048) (z-0.8187) (z-0.3679)}$$

A idéia do controlador ded-beat é cancelar os pólos e zeros da planta. Mas somente pólos e zeros estáveis, assim C(z) inicialmente fica como:

$$C(z) = K_c \cdot \frac{(z-0.9048) (z-0.8187) (z-0.3679)}{(z+0.1903) (z-1) (z-??)}$$

$$FTMA(z) = K_c \cdot \frac{0.00012224(z + 2.747)(z + 0.1903)(z - 0.9048)(z - 0.8187)(z - 0.3679)}{(z - 0.9048)(z - 0.8187)(z - 0.3679)(z + 0.1903)(z - 1)(z - ??)}$$

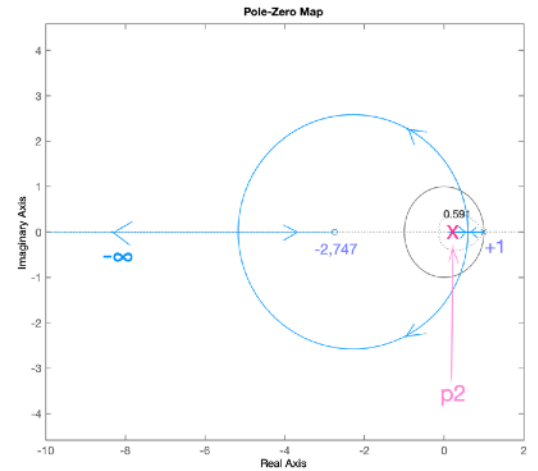
$$FTMA(z) = K_c \cdot \frac{0.00012224(z + 2.747)}{(z - 1)(z - p_2)}$$

Notar que como o numerador de C(z) acabou sendo de 3a-ordem, seu denominador deve ser de mesma ordem ou superior. Neste caso, falta definir a posição do pólo extra.

<< Seguem rascunhos de RLs >>

Por fim, uma localização adequada para este terceiro pólo seria em z = -0,5 e o controlador assumiria a forma:

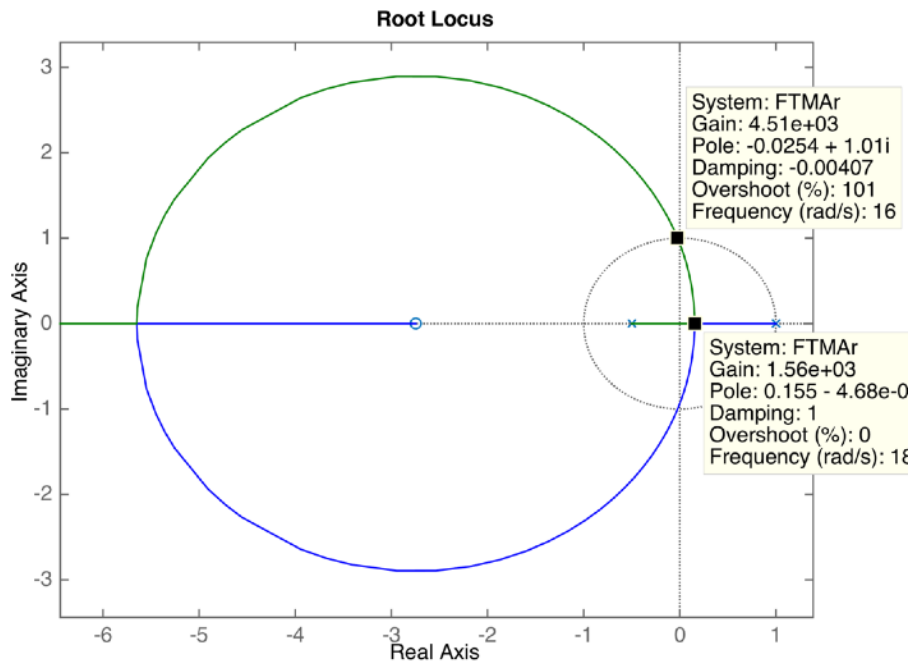
$$C(z) = \frac{(z-0.9048) (z-0.8187) (z-0.3679)}{(z-1) (z+0.5) (z+0.1903)}$$



O que resulta na seguinte equação em MA:

$$FTMA(z) = \frac{0.00012224 (z+2.747)}{(z-1) (z+0.5)}$$

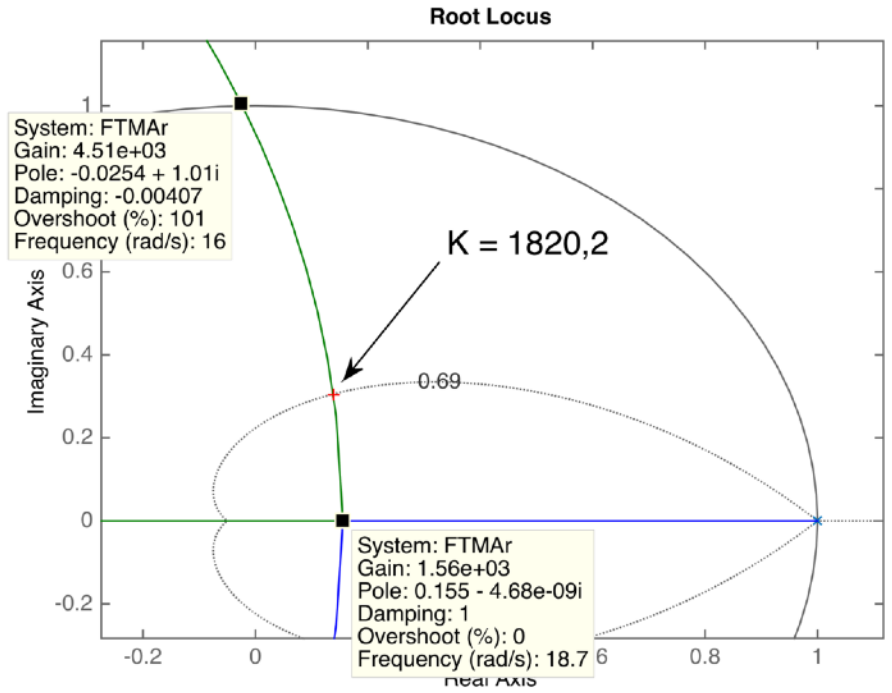
e consequente RL (mostrado na figura ao lado).



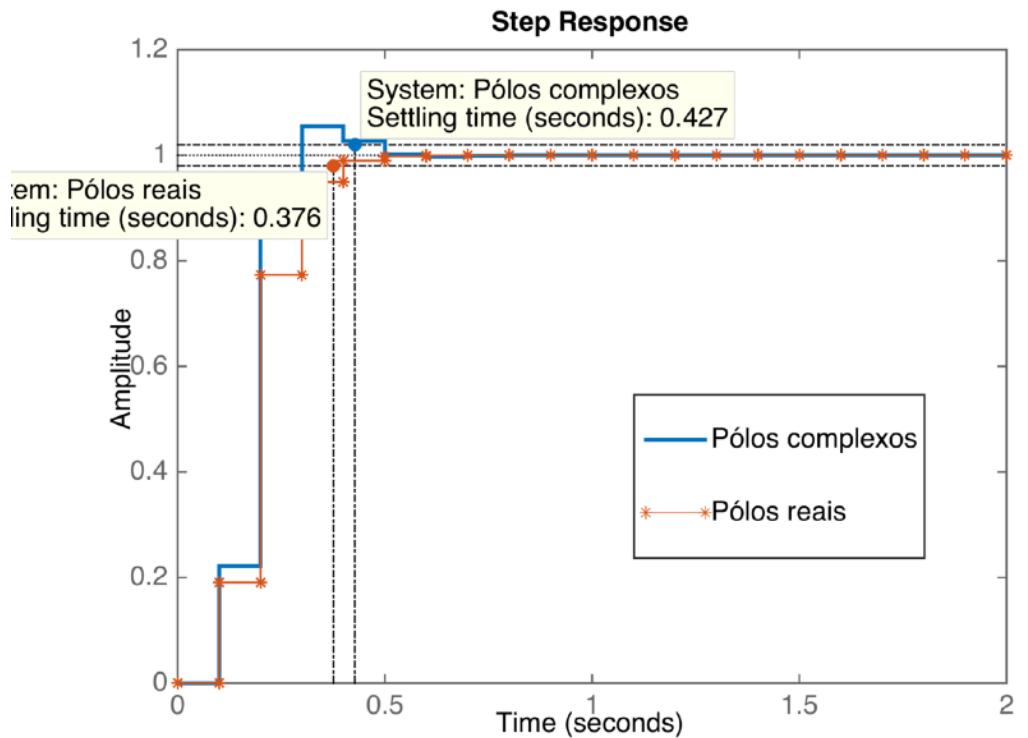
Continua -->

Note que falta definir um ganho. Dois pontos podem ser adotados:

- 1) pólos reais duplos no ponto de partida do RL ( $K \approx 1560$ ), ou;
- 2) pólos complexos respeitando  $\zeta = 0,6901$  ( $\%OS < 5\%$ ) e neste caso,  $K \approx 1820$ .

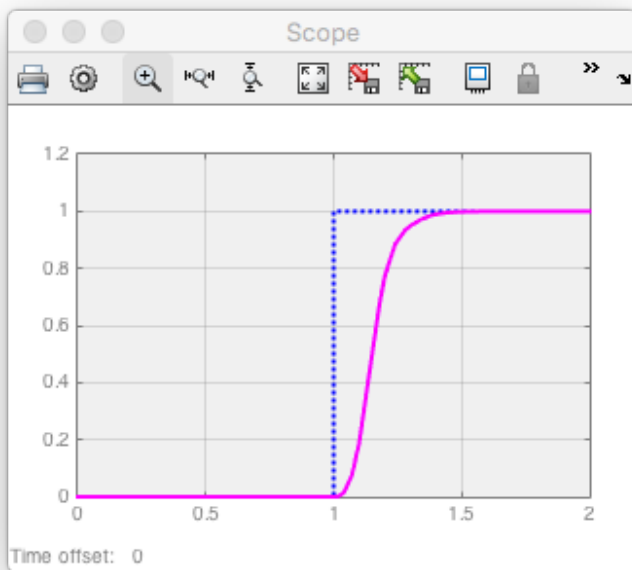
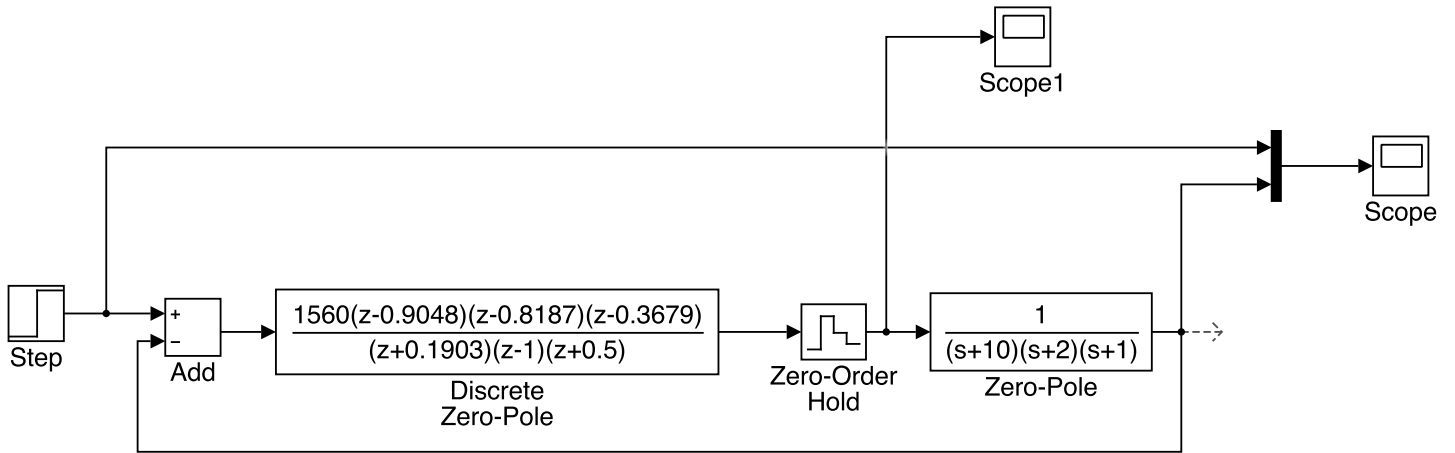


Avaliando as 2 opções, resulta no gráfico mostrado na figura ao lado.

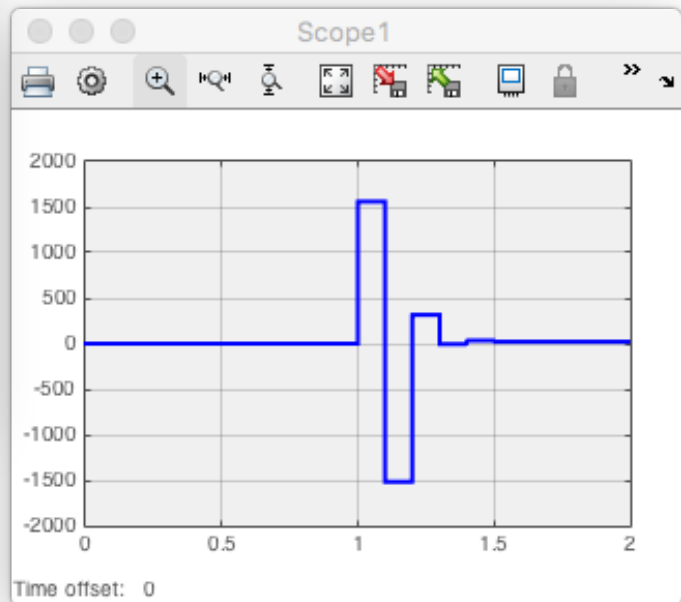


Obs.: O problema não está em se obter um sistema que reage bastante rápido em MF, mas no valor excessivo das amplitudes geradas pelo controlador — seguem simulações realizadas no Simulink:

O sistema simulado usando Simulink resulta em:



Note as elevadas amplitudes desenvolvidas pelo sinal de controle (nos instantes iniciais oscilaram entre mais de +/- 1.500.



Obs.: o gráfico do digrama de blocos (no Simulink) foi exportado do Simulink, usando-se o seguinte comando na janela de comandos do MATLAB:

```
>> print -deps2 -sdead_beat dead_beat_sym.pdf
```

No caso acima, foi gerado um arquivo PDF (vetorizado). Mas outras opções podem ser adotadas como por exemplo: '-dpng' que neste caso, geraria uma figura PNG (resolução melhor que JPG). E notar que '-sXXX' se refere ao diagrama de blocos editado no Simulink com o nome 'XXX'.

## 7) Controlador por Avanço (de Fase)

Controlador por atraso → vantagem sobre PD: reduz impacto do ruído frente à diferenciação (o controlador por atraso se aproxima de uma diferenciação).

Desejável tempo de assentamento abaixo de 1,63 segundos, o que significa:

$$t_s = \frac{-\ln(0,02\sqrt{1-\zeta^2})}{\zeta\omega_n}$$

para o caso de:  $0 < \zeta < 1$ , a equação para  $t_s$  pode ser aproximada para:  $t_s = \frac{4}{\zeta\omega_n}$

Neste caso, teremos então:

zeta = 0,6901,  $t_{s\_d} = 1,63$  e  $\omega_n$  resulta então em:

>>  $\omega_n = 4 / (\text{zeta} * t_{s\_d})$

$\omega_n = 3.5022$  (rad/s)

ou seja, queremos pólos de MF localizados, no plano-s, na posição:  
lembrando que:

$$s = \sigma \pm j\omega_d$$

$$\omega_d = \omega_n \cdot \sqrt{1 - \zeta^2}$$

$$\sigma = \omega_n \cdot \zeta$$

temos então:

>>  $\text{sigma} = \omega_n * \text{zeta}$

$\text{sigma} = 2.4169$

>>  $\text{wd} = \omega_n * \text{sqrt}(1 - \text{zeta}^2)$

$\text{wd} = 2.5346$

Mas como não estamos projetando controlador no plano-s e sim no plano-z, faz-se necessário sua translação do plano-s para o plano-z usando a definição da transformada-Z:

$$z = e^{-Ts}$$

os pólos dominantes de MF deveriam passar por:

>>  $\text{polos\_MFs} = \text{sigma} + i * \text{wd}$

$\text{polos\_MFs} = 2.4169 + 2.5346i$

>>  $\text{polos\_MFz} = \exp(-T * \text{polos\_MFs})$

$\text{polos\_MFz} = 0.7602 - 0.1969i$

Temos agora que recordar o formato de um controlador de avanço que é caracterizado pela equação:

$$C(z) = \frac{s + z_c}{s + p_c}$$

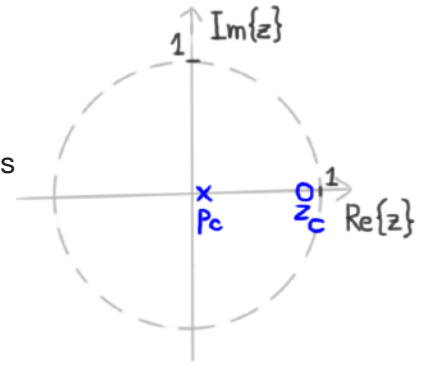
onde no plano-s:  $p_c \rightarrow -\infty$  e seu zero fica próximo da origem do plano-s (aprox. de efeito derivativo).



Mas no plano-z, ficaria com seu zero próximo do círculo unitário e seu pólo bastante próximo da origem do plano-z.

Num primeiro momento, sem se importar com a melhor posição para os pólos e zeros do controlador em relação à planta, podemos fazer:

$$C7(z) = \frac{(z-0.85)}{(z-0.05)}$$

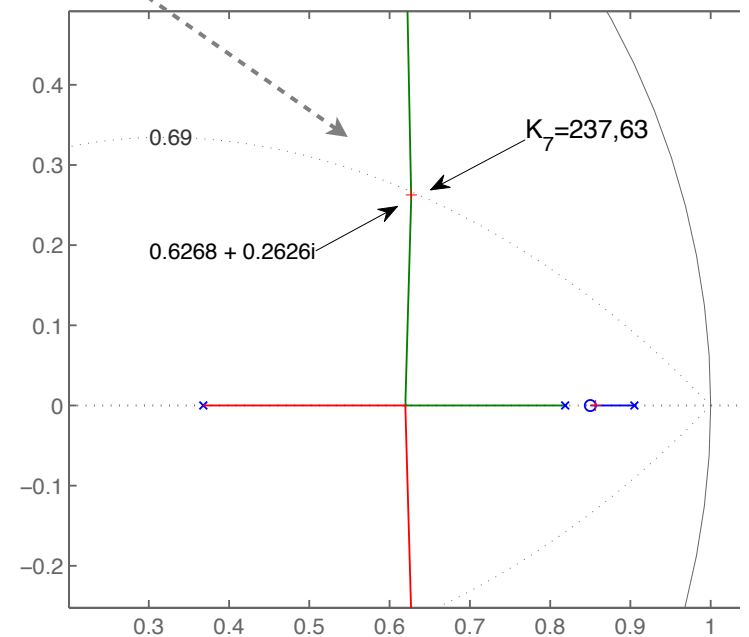
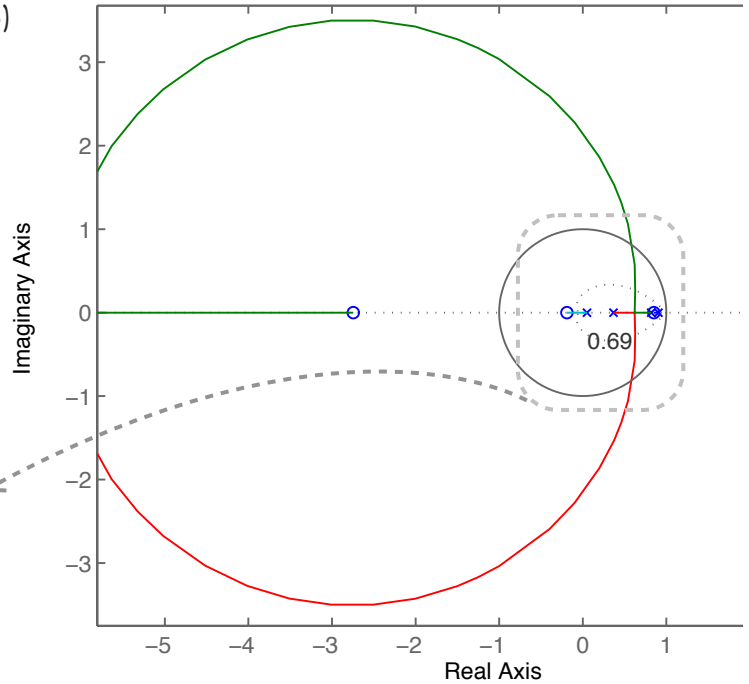
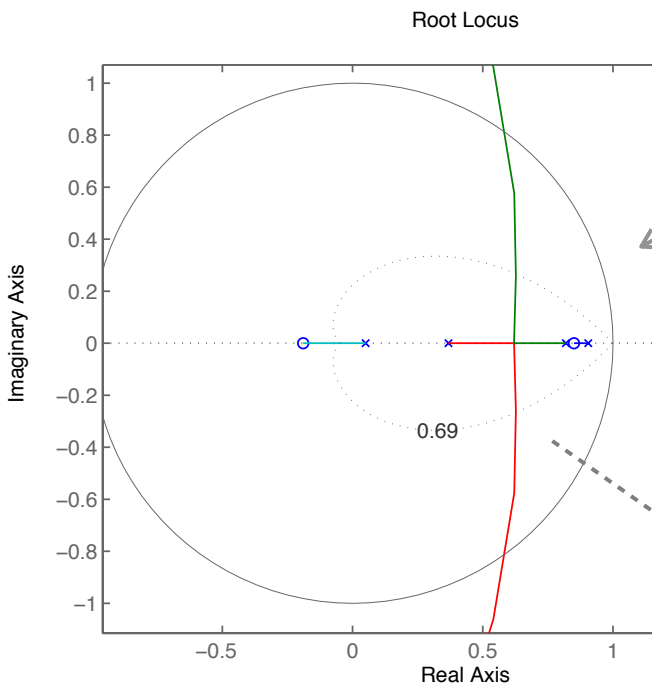


O que resultaria numa FTMA(z):

$$\frac{0.00012224 (z+2.747) (z-0.85) (z+0.1903)}{(z-0.9048) (z-0.8187) (z-0.3679) (z-0.05)}$$

Root Locus

e correspondente RL como:



Com  $K7 = 237.6297$

e pólos MF dominantes em:  $0.6268 + 0.2626i$

Notar que o desejado era: polos\_MFz =  $0.7602 - 0.1969i$



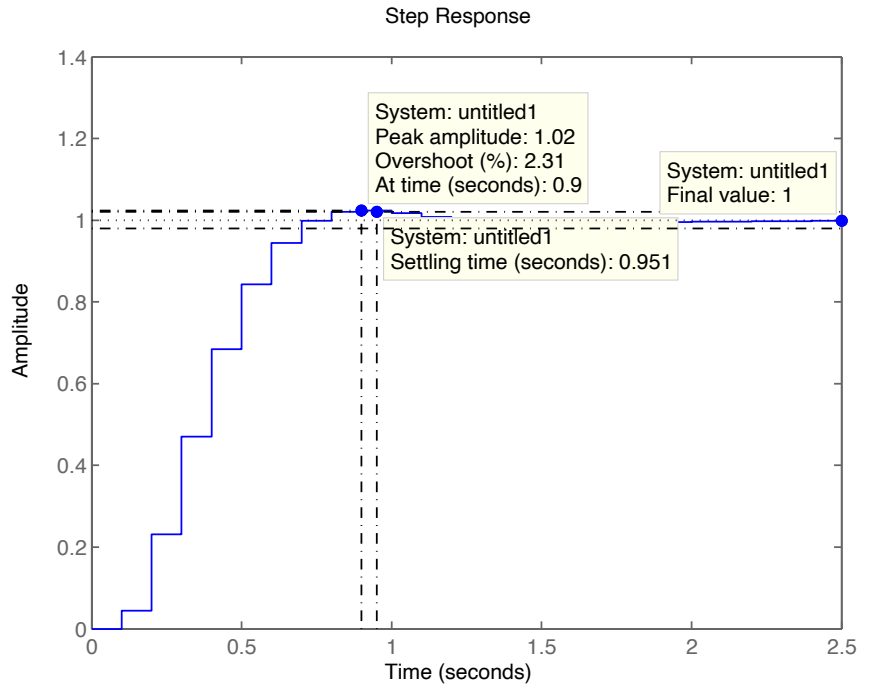
O Controlador anterior resulta na resposta:

```
Notando que:
>> dcgain(ftmf7)
ans = 0.6523
```

ou seja, que para fazer  $y(\infty) = 1,0$ ; deve ser aplicado um degrau de amplitude igual à:

```
>> K7degrau=1/ans
K7degrau = 1.5330
```

resultando num  $t_s = 0,951$   
o  $t_{s\_d} = 1,63$ .  
E  $\%OS = 2,31\%$

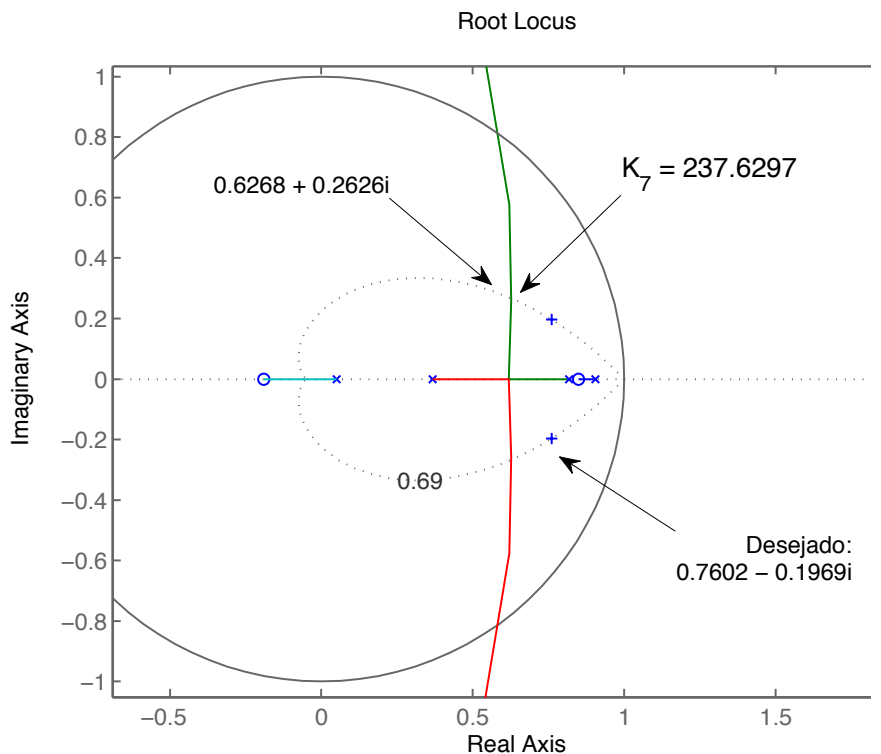


=> Verificar se ação de controle não desenvolve amplitudes elevadas demais ?

Com  
 $K_7 = 237.6297$   
e pólos MF dominantes em:  
 $0.6268 + 0.2626i$

Notar que o desejado era:  
polos\_MFz =  
 $0.7602 - 0.1969i$

Isto pode ser "melhorado" calculando a contribuição dos ângulos, arbitrando a localização inicial para o zero do controlador próximo da origem do plano-z.



Como a planta possui uma raiz bastante próxima da origem do plano-z, um pólo em  $z = 0,3679$ , podemos arbitrar uma posição do pólo do controlador em  $z = 0,15$  (este pólo será atraído pelo zero da planta em  $z = -0,19$  e o pólo da planta em  $z = 0,3679$  "caminhará" na direção do outro pólo da planta em  $z = 0,8187$ ). Esta nova composição resultaria no seguinte RL:

Calculando as contribuições dos ângulos (script “`angulos.m`”), obtemos:

```
>> numc7=1;
>> denc7=[1 -0.15];
>> C7=tf(numc7,denc7,T);
>> zpk(C7)
ans =
    1
-----
(z-0.15)
>> ftma7=C7*BoG;
>> [num,den,aux]=tfdata(ftma7,'v');
>> angulos

open_poles =
    0.9048
    0.8187
    0.3679
    0.1500

open_zeros =
   -2.7471
   -0.1903

New settling time (desired): ? 1.655
Natural damping osc. frequency, wn = 3.5022
(rad/s)
```

```
Localização do pólo de MF no plano-s:
s = 2.4169 +/- j2.5346
Localização do pólo de MF no plano-z:
z = 0.7602 +/- j0.1969
Angle Contribution of each pole of the open
loop system
p1 = 0.9048 --> 126.30^o
p2 = 0.8187 --> 106.55^o
p3 = 0.3679 --> 26.65^o
p4 = 0.1500 --> 17.89^o
Sum of angular poles positions: 277.39^o
Angle Contribution of each zero of the open
loop system
z1 = -2.7471 --> 3.21^o
z2 = -0.1903 --> 11.70^o
Sum of angular zeros positions: 14.92^o
Final Resulting angle for the extra Lead pole/
zero: 82.4679^o
Final position for the extra Lead zero:
0.7342
>>
>> pc
pc = 0.7342
>>
```



Testando:

```
>> numc7t=[1 -pc];
>> denc7t=denc7;
>> C7t=tf(numc7t,denc7t,T);
>> zpk(C7t)

ans =

(z-0.7342)
-----
(z-0.15)

Sample time: 0.1 seconds
Discrete-time zero/pole/gain model.

>> ftma7t=C7t*BoG;
>> figure; rlocus(ftma7t)
```

```
>> hold on
>> zgrid(zeta,wn/T)
>> polos_MFz

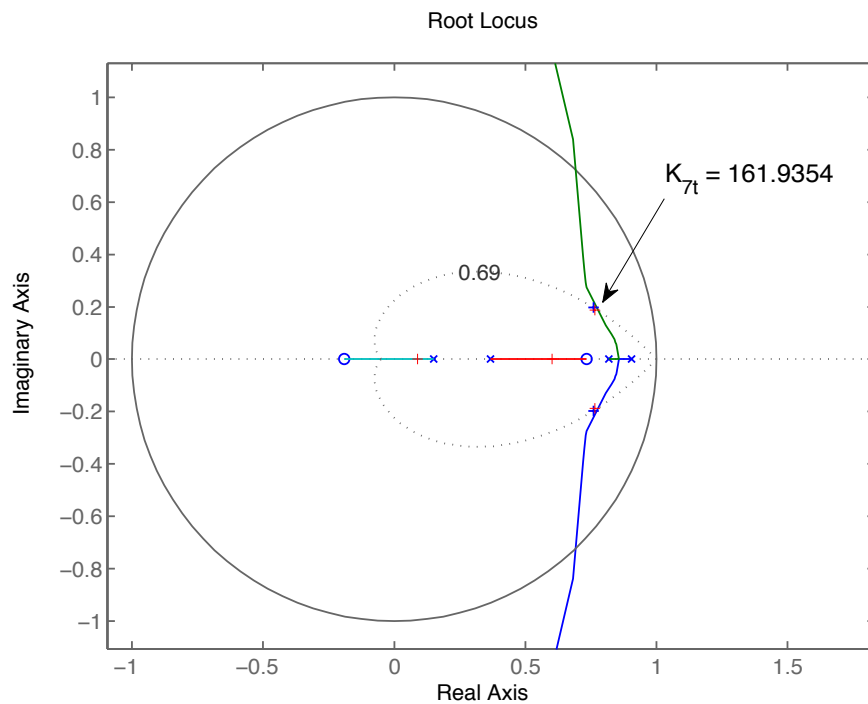
polos_MFz =
    0.7602 - 0.1969i

>> plot([polos_MFz 0.7602+0.1969i], 'b+') %
sobrepõe no RL os pólos de MF desejados!
>> K7t=rlocfind(ftma7t)
Select a point in the graphics window

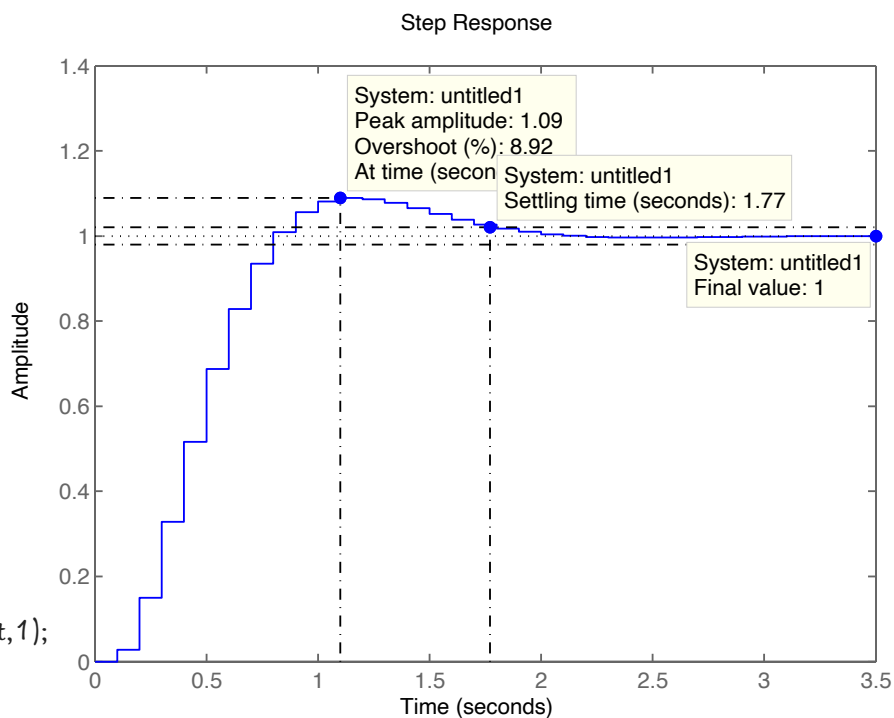
selected_point =
    0.7686 + 0.1895i

K7t = 161.9354
>>
```

O que resulta no seguinte RL mostrada na figura a seguir:



E na resposta temporal mostrada a seguir:



```
>> f7t=feedback(K7t*ftma7t,1);
>> dcgain(f7t)
ans = 0.7169
```

Obs.: Necessário aplicar degrau de amplitude igual à: 1,3949

```
>> K7degraut=1/ans
K7degraut = 1.3949
```

```
>> figure; step(K7degraut*f7t)
```

Se o pólo do Controlador foi colocado em  $z = 0,05$ ; teremos:

```
>> angulos
open_poles =
    0.9048
    0.8187
    0.3679
    0.0500

open_zeros =
    -2.7471
    -0.1903

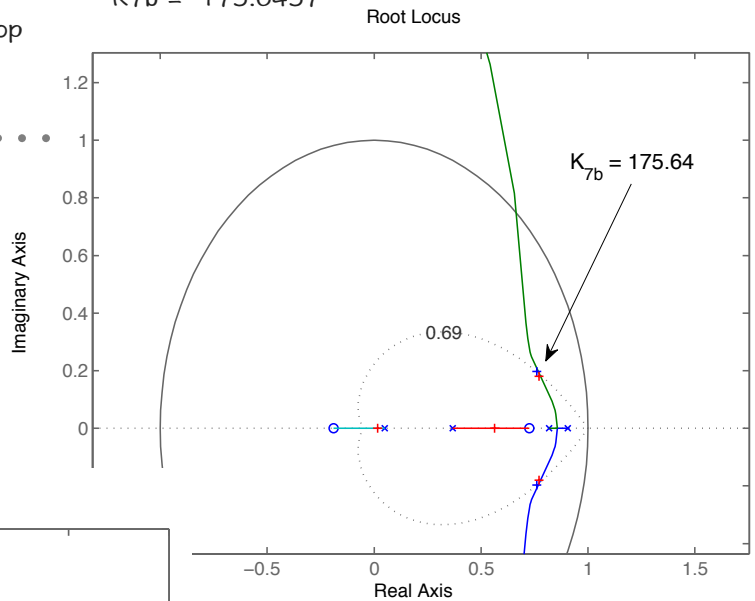
New settling time (desired): ? 1.6550
Natural damping osc. frequency, wn = 3.5022 (rad/s)
Localização do pólo de MF no plano-s:
s = 2.4169 +/- j2.5346
Localização do pólo de MF no plano-z:
z = 0.7602 +/- j0.1969
Angle Contribution of each pole of the open loop system
p1 = 0.9048 --> 126.30^o
p2 = 0.8187 --> 106.55^o
p3 = 0.3679 --> 26.65^o
p4 = 0.0500 --> 15.50^o
Sum of angular poles positions: 275.00^o
Angle Contribution of each zero of the open loop system
```

```
z1 = -2.7471 --> 3.21^o
z2 = -0.1903 --> 11.70^o
Sum of angular zeros positions: 14.92^o
Final Resulting angle for the extra Lead pole/zero: 80.0796^o
Are you enter the [p]ole or [z]ero of C(z): ? z
Ok, Evaluating the final position for the extra Lead pole:
Final position for the extra Lead pole: 0.7258
>> numc7b=[1 -0.7258];
>> denc7b=denc7t;
>> C7b=tf(numc7b,denc7b,T);
>> zpk(C7b)
ans =
    (z-0.7258)
    -----
    (z-0.05)
```

```
>> K7b=rlocfind(ftma7b)
Select a point in the graphics window

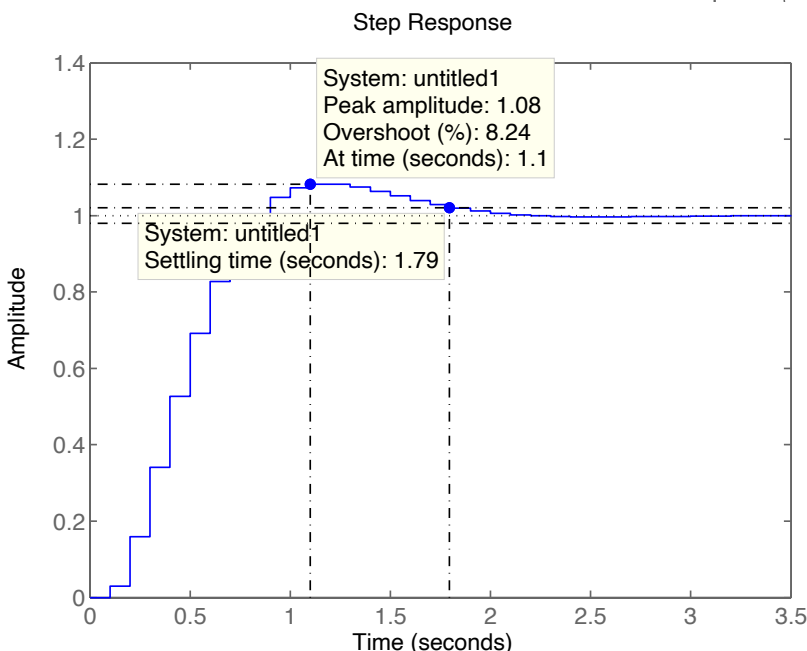
selected_point =
    0.7745 + 0.1828i
```

K7b = 175.6457



```
Resultado final:
>> ftmf7b=feedback(K7b*ftma7b,1);
>> dcgain(ftmf7b)
ans = 0.7171

>> K7bdegrau=1/ans
K7bdegrau = 1.3945
```



Continua...

## Projeto de Controlador de Avanço-Atraso usando transformação bilinear.

Note que neste caso, o controlador é projetado inicialmente no plano-s, usando Diagramas de Bode e depois é convertido para seu formato digital usando o método de Tustin.

Não é objetivo deste trabalho, avaliar novos métodos de projetos de controladores de avanço-atraso no plano-s usando diagrama de Bode. Neste caso, será usado um *script* organizado previamente no MATLAB que permite automatizar o projeto deste tipo de controlador.

A planta é dada por:

$$G(s) = \frac{1}{(s+10)(s+2)(s+1)}$$

Note: é um sistema do tipo 0 (sem integradores), então exibe erro não nulo para entrada degrau. A fim de restringir (limitar) a quantidade de incógnitas para determinação dos parâmetros do controlador lead-lag, definimos um valor máximo tolerável de erro em regime permanente e então definimos a constante de erro de posição,  $K_p$ . Neste caso:

$$e_{step}(\infty) = \lim_{s \rightarrow 0} sE(s) = \lim_{s \rightarrow 0} \frac{s(1/s)}{1 + G(s)} = \frac{1}{1 + \lim_{s \rightarrow 0} G(s)} = \frac{1}{1 + K_p}$$

Se erro\_degrau( $\infty$ )=5%; como  $y(\infty)=1,0$ ; implica erro\_degrau( $\infty$ )=0.05.

$K_p$  original da planta:  $K_p = 1/(10*2*1) = 0.0500$  (curiosidade).

Mas  $K_p$  para sistema FTMA(s) ficaria em:

$$K_p = \frac{1 - e}{e}$$

ou:

$$\gg K_p = (1 - 0.05) / 0.05$$

$$K_p = 19$$

Rodando então o script: “*bode\_lag\_lead.m*” obtêm-se os seguintes resultados:

```
>> bode_lag_lead
Input %OS: ? 5
Input peak time, Tp: ? 1.2
Type value of Kp/v/a (static error) : ? 19
Value of K to consider desired Kv, K =
K = 380
G(s) considering Kv (e->infy):
```

```
G =
      380
-----
(s+10) (s+2) (s+1)
Continuous-time zero/pole/gain model.
```

Calculating damping ratio for the required %OS, zeta:

$$z = 0.6901$$

Determining Phase margin required based on zeta (and %OS),  $P_m$ :

$$P_{mreq} = 64.6253$$

Based on previous zeta, determining the natural frequency:

$$\omega_n = 3.6175$$

Required bandwidth:

$$\omega_{BW} = 3.7044$$

Determining a break frequency for lead near  $\omega_{BW}$ :

$$\omega_{pm} = 2.9635$$

Phase for the new  $\omega_{BW}$ ,  $\omega_{pm}$ ):

$$P = -143.8466$$

Gain for new  $\omega_{BW}$ ,  $\omega_{pm}$ ):

$$M = 3.2582$$

Considering the new  $PM_{req}$  with Lead compensator:

$$Pm_{reqc} = 33.4719$$

Determining Beta for the Lead compensator:

$$\beta = 0.2891$$

Determining the zero position of the Lag compensator:

$$z_{lag} = 0.2964$$

Determining the pole position of the Lag compensator:

$$p_{lag} = 0.0857$$

Determining the K of the Lag compensator (0 db at low frequencies):

$$K_{lag} = 0.2891$$

Lag compensator,  $G_{lag}(s)$ :

$$G_{lag} = \frac{0.28905 (s+0.2964)}{(s+0.08566)}$$

-----  
 $(s+0.08566)$

Continuous-time zero/pole/gain model.

ans = Lead compensator

$G_{lead} =$

$$3.4596 (s+1.593)$$

-----  
 $(s+5.512)$

Continuous-time zero/pole/gain model.

ans = Lag-Lead Compensated  $G_e(s)$

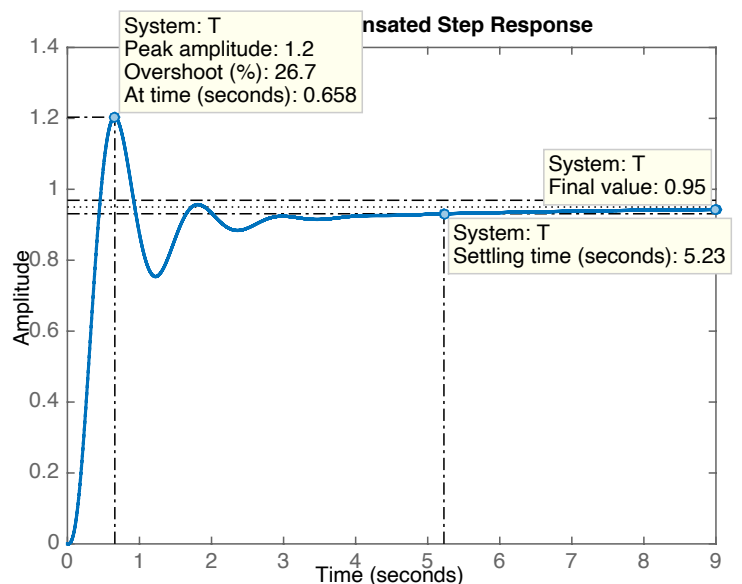
$$G_e = \frac{380 (s+0.2964) (s+1.593)}{(s+10) (s+5.512) (s+2) (s+1) (s+0.08566)}$$

Continuous-time zero/pole/gain model.

$$K_v = 0$$

>>

Que permite alcançar a seguinte resposta para entrada degrau:



Resultados gráficos:

%OS = 26,7%

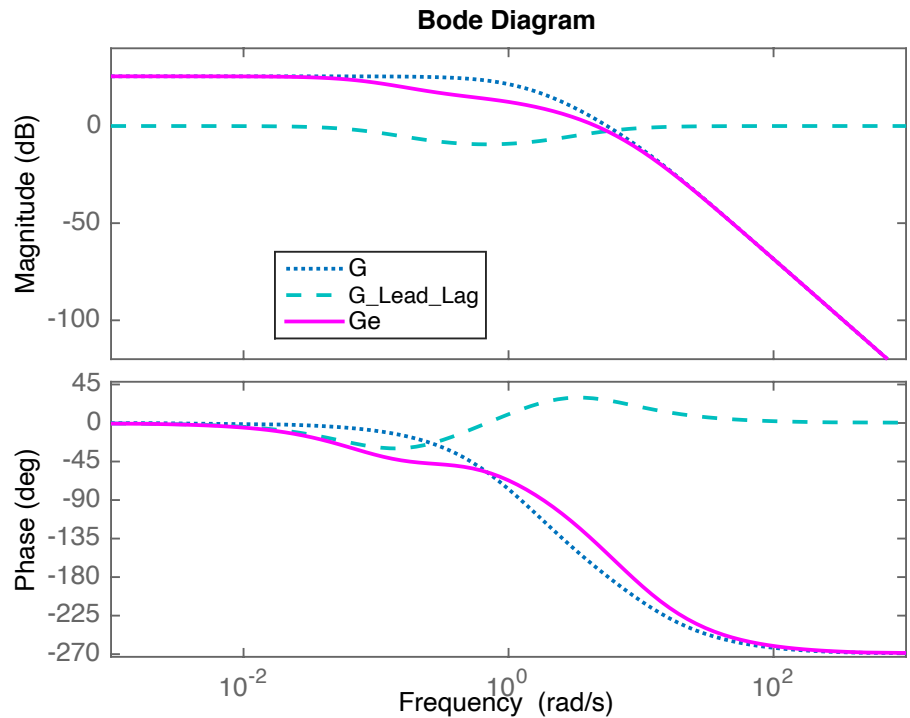
tp = 0,658

ts = 5,23

Erro em regime permanente:

0.95

Por curiosidade, o diagrama de Bode relacionado com o projeto segue na figura ao lado.

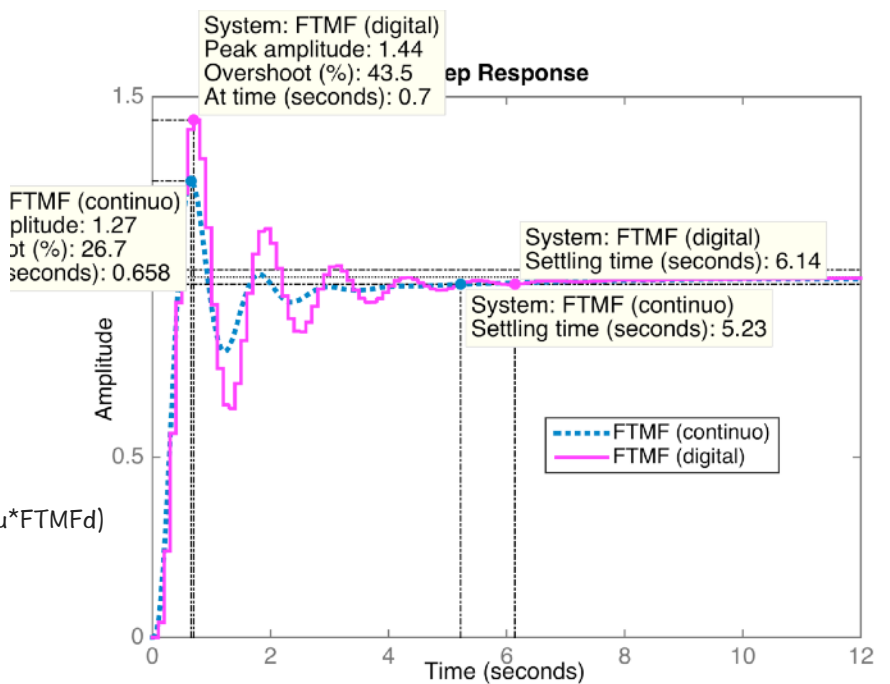


Mas estamos interessados na versão digital do controlador. Então necessitamos realizar uma transformação bilinear do plano-s para o plano-z usando neste caso o método de Tustin:

```
>> G_Lead_Lag=K*Glag*Glead;
>> zpk(G_Lead_Lag)
ans =
  380 (s+0.2964) (s+1.593)
-----
  (s+0.08566) (s+5.512)
Continuous-time zero/pole/gain model.
>> T=0.1;
>> G_lead_lag_d=c2d(G_Lead_Lag,T,'tustin');
>> zpk(G_lead_lag_d)
```

```
ans =
  325 (z-0.9708) (z-0.8524)
-----
  (z-0.9915) (z-0.5679)
Sample time: 0.1 seconds
Discrete-time zero/pole/gain model.
>>
Simulando, resulta em:
```

```
>> FTMA_d=G_lead_lag_d*BoG;
>> FTMF_d=feedback(FTMA_d,1);
>> dcgain(FTMF_d)
ans = 0.9500
>> K_degrau=1/ans;
>> FTMF=feedback(Ge,1);
>> figure; step(K_degrau*FTMF,K_degrau*FTMF_d)
>>
```



## Projeto de Controlador PID

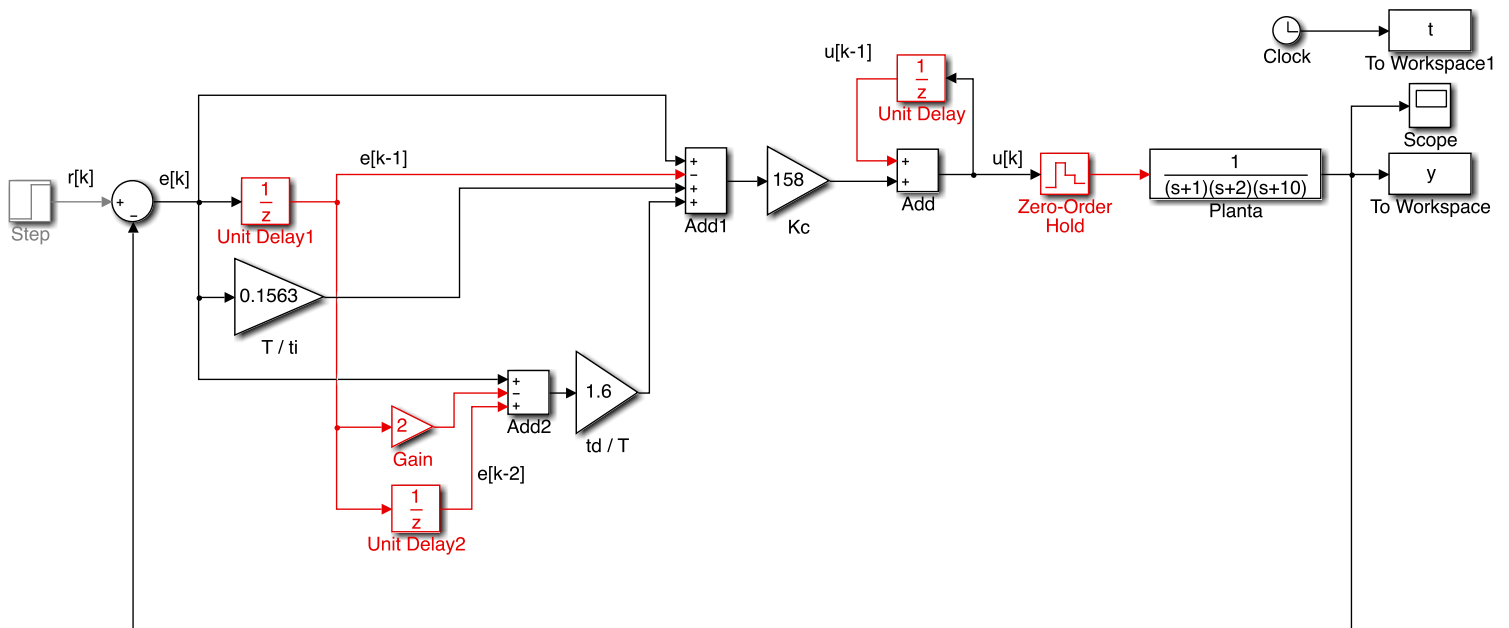
A planta é dada por:

$$G(s) = \frac{1}{(s + 1)(s + 2)(s + 10)}$$

e que seja usado período de amostragem,  $T = 0,1$  segundos.

$$u[k] = u[k - 1] + K_c \left[ (e[k] - e[k - 1]) + \frac{T}{\tau_i} e[k] + \frac{\tau_d}{T} (e[k] - 2e[k - 1] + e[k - 2]) \right]$$

A equação (de diferenças) do PID no formato de velocidade é dado por:



Este conjunto introduzido no Matlab/Simulink fica como:

<Arquivo: planta\_PID\_velocity.slx >

Note que antes de tentar simular este sistema, é necessário se realizar sua sintonia. Para tanto, devemos determinar  $K_u$  (ultimate gain) e  $T_u$  (período da oscilação). Isto pode ser obtido usando-se o método de Yuri, ou de forma mais simples (mas mais imprecisa), traçando o gráfico do lugar das raízes e simulando o sistema para capturar  $T_u$ .

```
>> num=1;
>> den=poly([-1 -2 -10]);
>> G=tf(num,den);
>> T=0.1;
>> BoG=c2d(G, T);
>> zpk(BoG)
0.00012224 (z+2.747) (z+0.1903)
-----
(z-0.9048) (z-0.8187) (z-0.3679)
>> rlocus(BoG);
```

Que resulta no gráfico mostrado na próxima página.

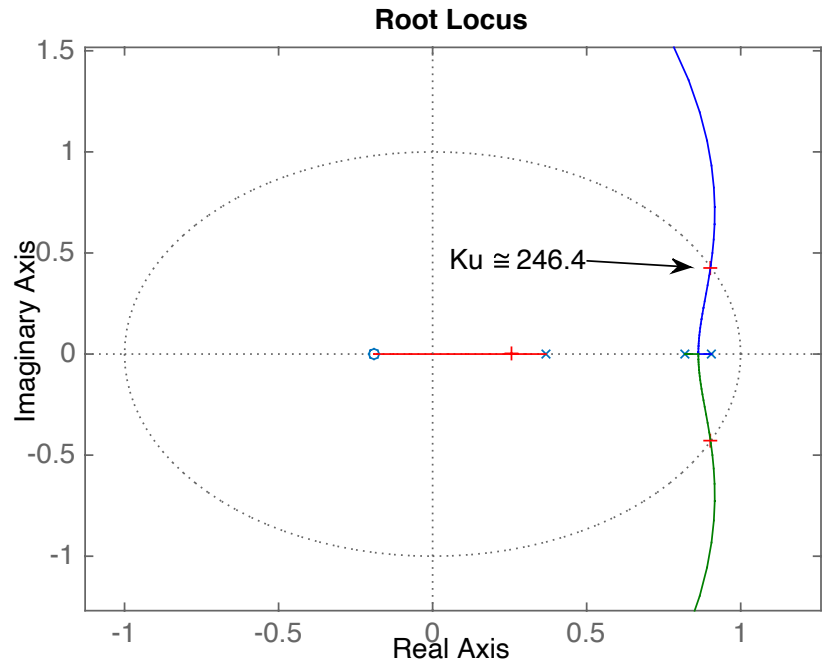


RL de BoG(z):  
 >> Ku=rlocfind(BoG)

Após algumas tentativas,  
 determina-se que Ku é  
 aproximadamente:

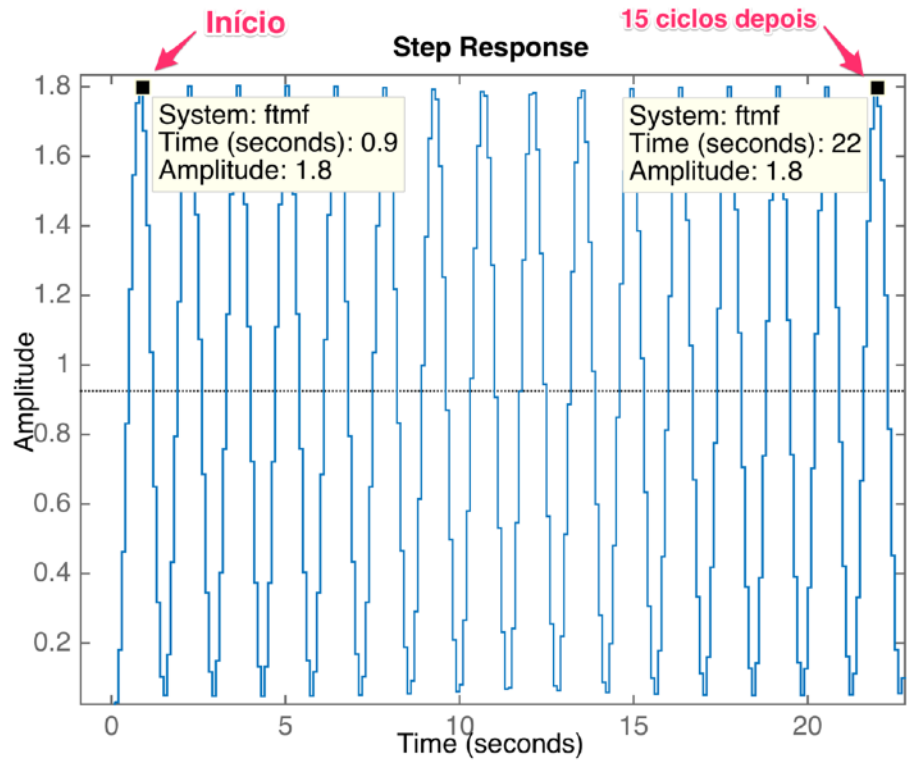
Ku = 246.4000

Fechando-se uma malha de  
 controle usando este valor para o  
 ganho proporcional verificamos o  
 sistema oscilando para uma  
 entrada degrau:



```
>> ftmf=feedback(Ku*BoG,1);
>> figure; step(ftmf)

>> Tu = (22-0.9)/15
>> Tu = 1.4067
```

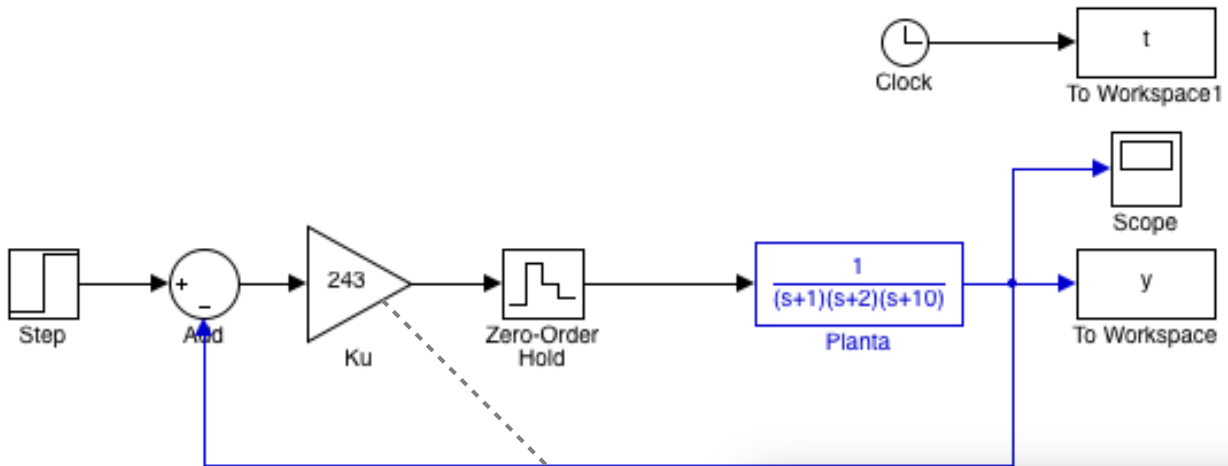


Mas uma simulado usando Matlab/Simulink resulta em:

Segue na próxima página diagrama em blocos no Simulink: <Arquivo: planta\_P\_Ku.slx >

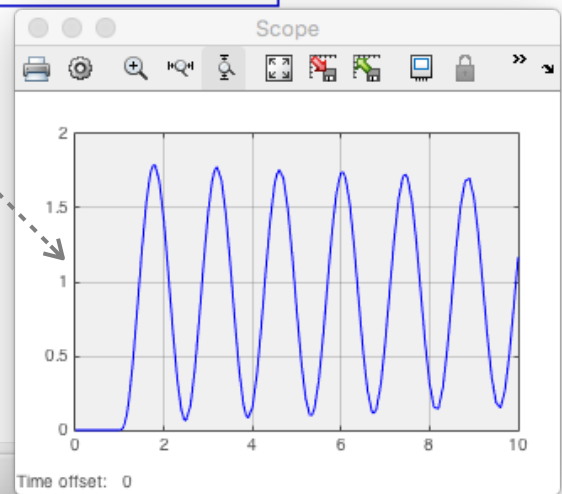
Arquivo: planta\_P\_Ku.slx:

>> open `planta_P_Ku` % abre diagrama em blocos no Simulink



Notar que o bloco “Scope” pode ser útil para rapidamente visualizar o resultado de uma simulação, mas não permite coletar dados para determinar o período de oscilação, motivo pelo qual, estão sendo usados os blocos “To Workspace”.

Mas O bloco “To Workspace” permite ser ajustado em 1 de 4 opções diferentes para o tipo de dado sendo guardado:



<-- Detalhe para o formato de dados selecionado para o bloco “To Workspace”:

Se for usado o formato (novo) “Timeseries”, um objeto específico contendo dados é gerado no Matlab, neste caso:

```
>> whos y
Name      Size      Bytes Class      Attributes
y         1x1       2964 timeseries

>> y
timeseries
Common Properties:
    Name: ""
    Time: [131x1 double]
    TimeInfo: [1x1 tsdata.timemetadata]
    Data: [131x1 double]
    DataInfo: [1x1 tsdata.datametadata]
```

More properties, Methods

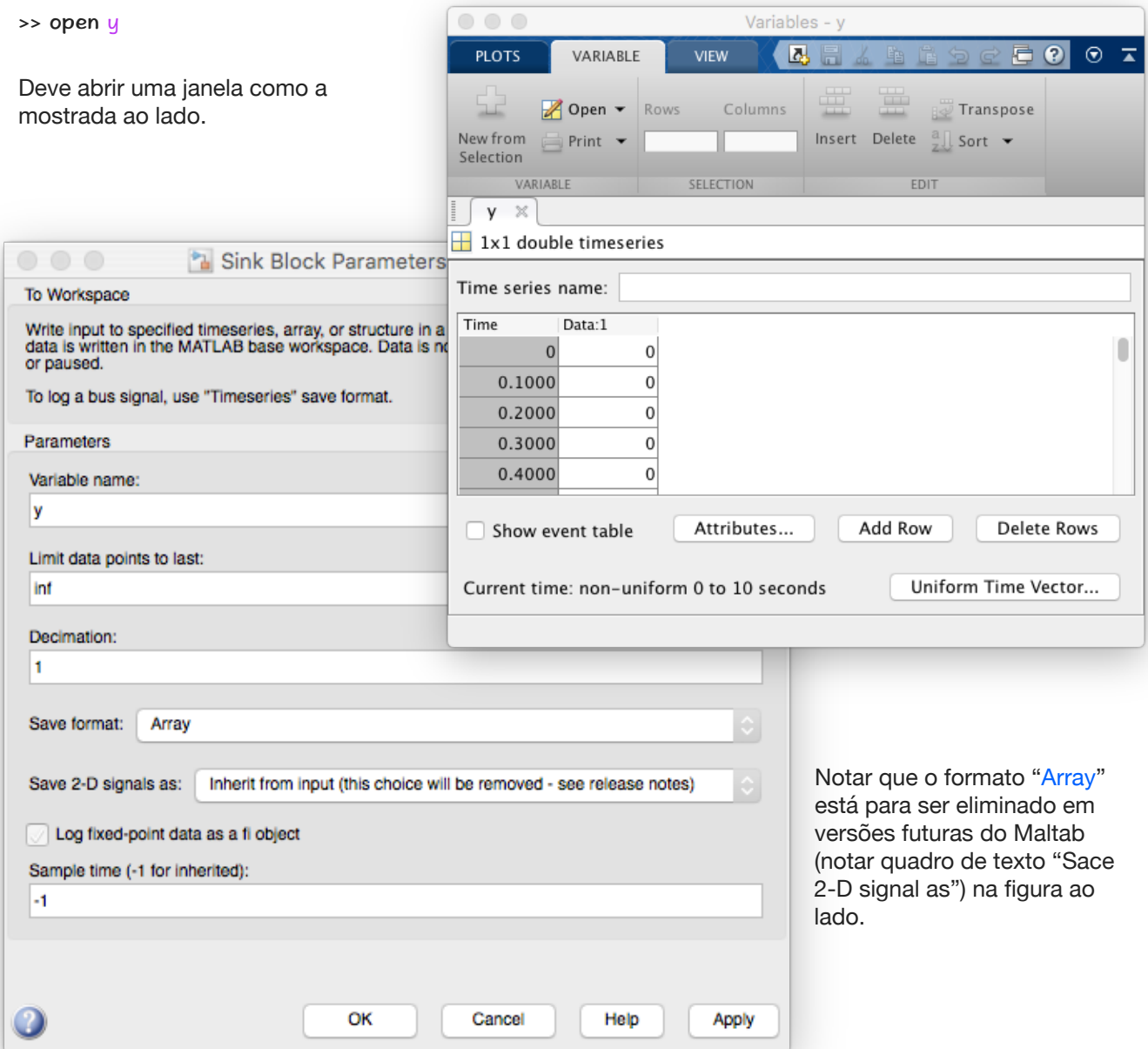
>>

Gerar gráficos usando este formato de dados é simples, basta fazer: >> plot(y).

Se por acaso for desejado inspecionar o conteúdo interno de dados no Matlab do tipo ‘timeseries’, basta num caso como este fazer:

```
>> open y
```

Deve abrir uma janela como a mostrada ao lado.



Notar que o formato “Array” está para ser eliminado em versões futuras do Matlab (notar quadro de texto “Save 2-D signal as”) na figura ao lado.

De posse dos dados levantados anteriormente com respeito a simulação para determinar  $K_u$  e  $T_u$  obtemos:

```
>> Ku
Ku = 264.4000
>> Tu
Tu = 1.4067
```

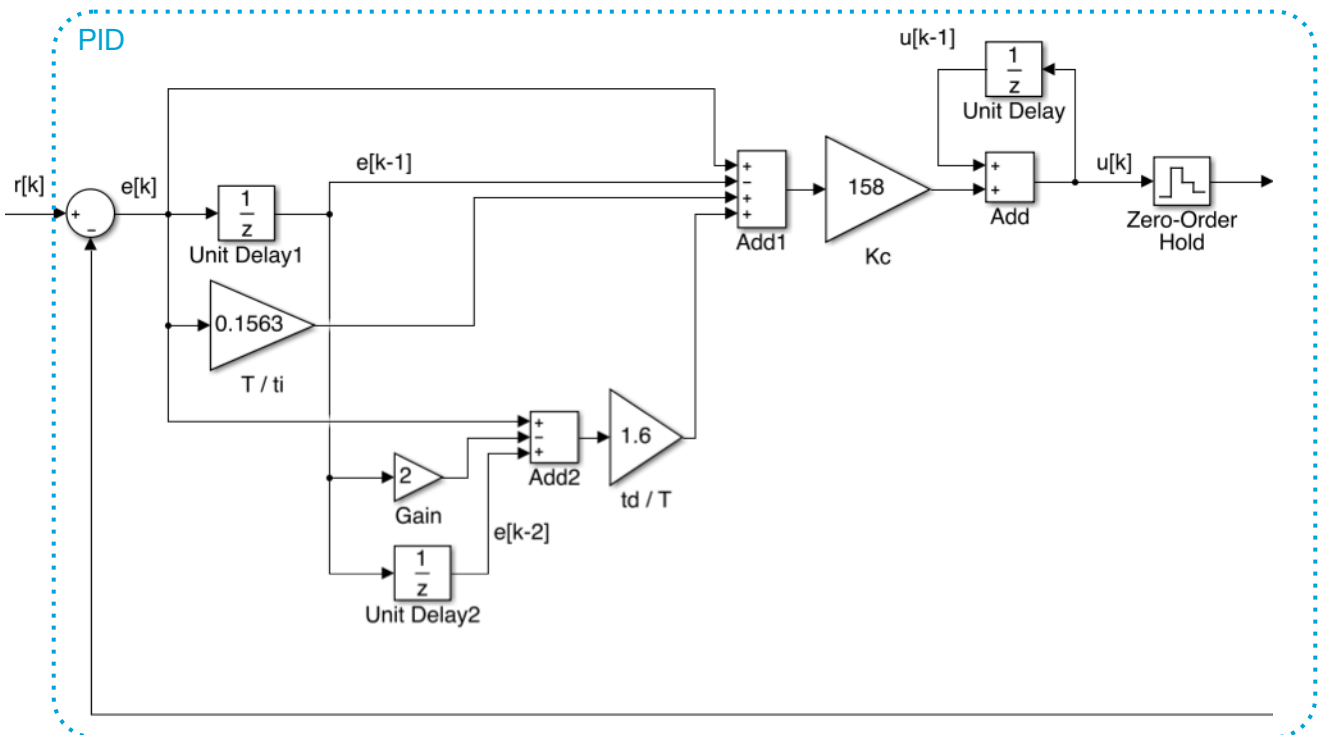
Usando a tabela de ZH para determinar  $K_c$ ,  $T_i$  e  $T_d$  obtemos:

```
PID -> Kc = 0,6 Ku;    Ti = Tu/2;    Td = Tu/8;
```

Então:

```
>> Kc=0.6*Ku
Kc = 158.6400
>> Ti=Tu/2
Ti = 0.7033
>> Td=Tu/8
Td = 0.1758
```

Mas.. os valores acima não podem ser aplicados diretamente num PID digital (apesar de poderem ser usados num PID no plano-s) porque faltou considerar o período de amostragem  $T$ :



Lembrando da equação do PID (formato de velocidade):

$$u[k] = u[k - 1] + K_c \left[ (e[k] - e[k - 1]) + \frac{T}{\tau_i} e[k] + \frac{\tau_d}{T} (e[k] - 2e[k - 1] + e[k - 2]) \right]$$

A ponderação associado com a integração fica:

```
>> T/Ti = 0.1422
```

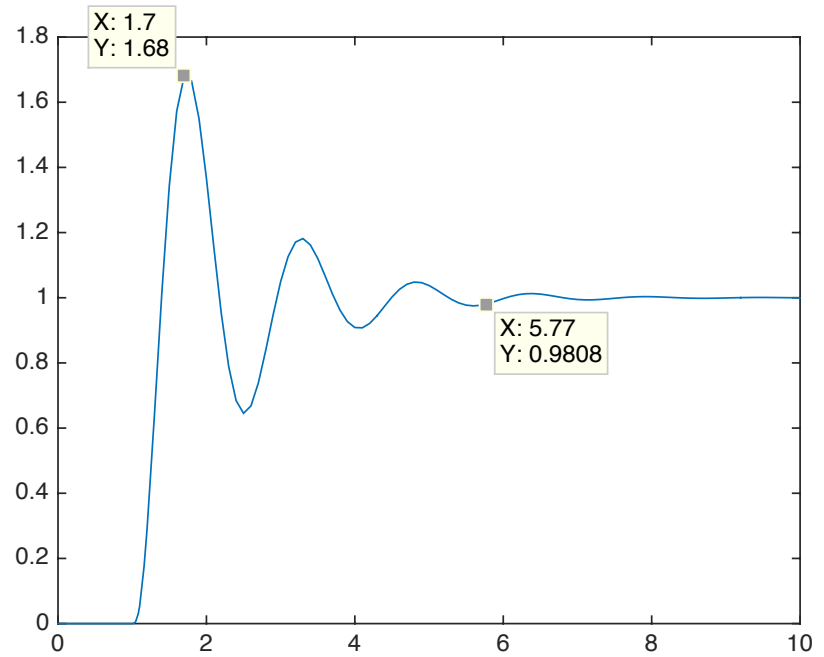
e a ponderação para o bloco associado com a derivada fica:

```
>> Td/T
ans = 1.7583
```

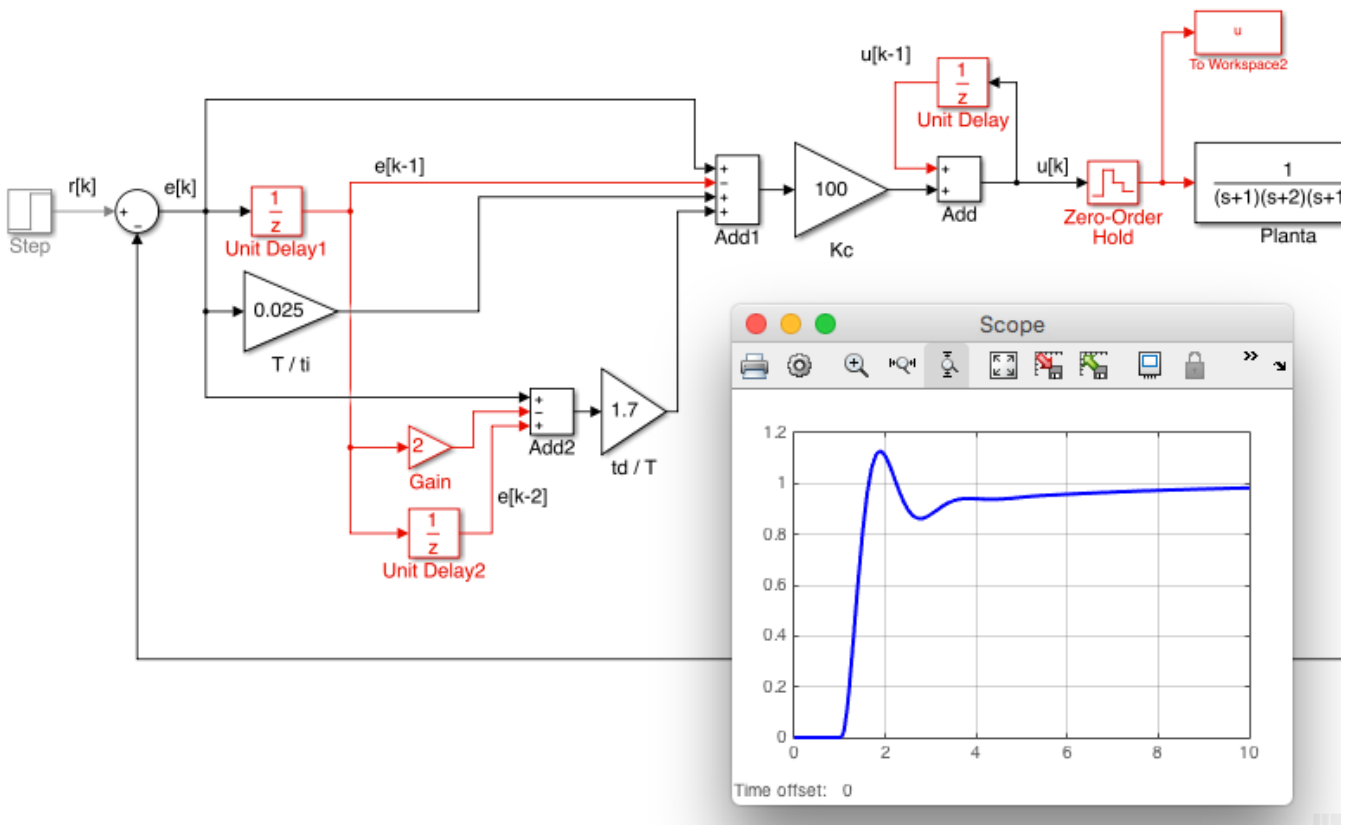
Os valores anteriores levam ao seguinte resultado:

Um overshoot de 68% no instante de tempo,  $t = 1,7$  segundos

e um tempo de ajuste (2%) de,  $t_s = 4,4$  segundos.



Obviamente os valores inicialmente determinados para  $K_c$ ,  $T_i$  e  $T_d$  devem ser modificados para alcançar um melhor resultado:



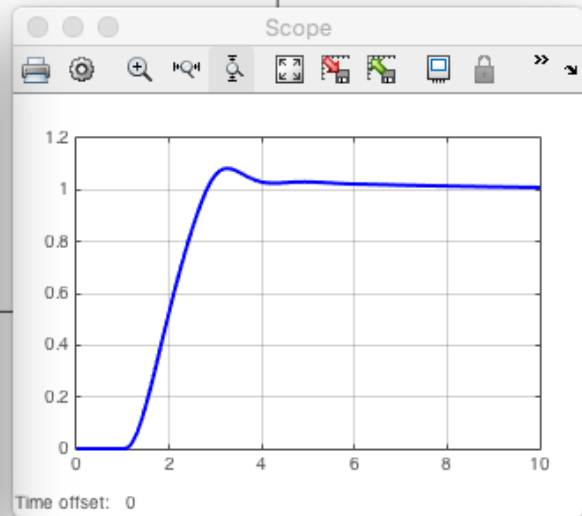
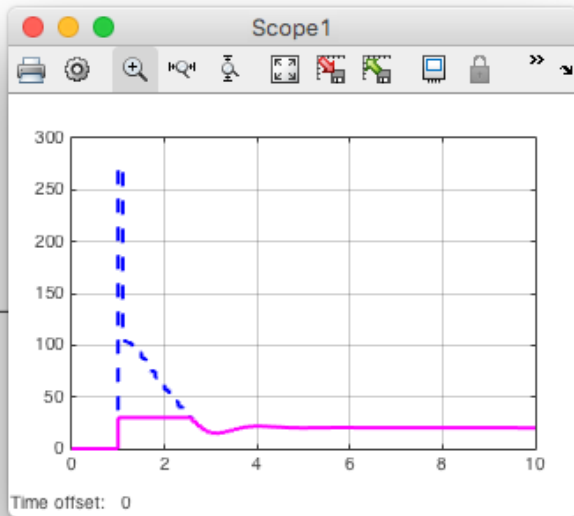
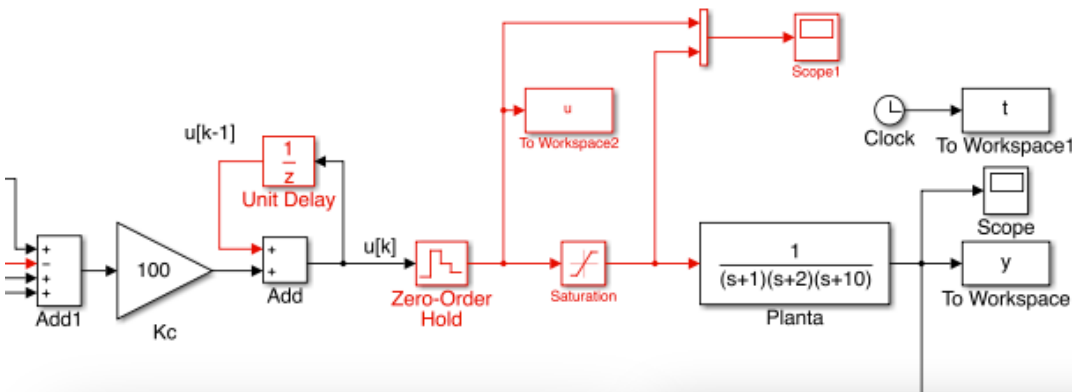
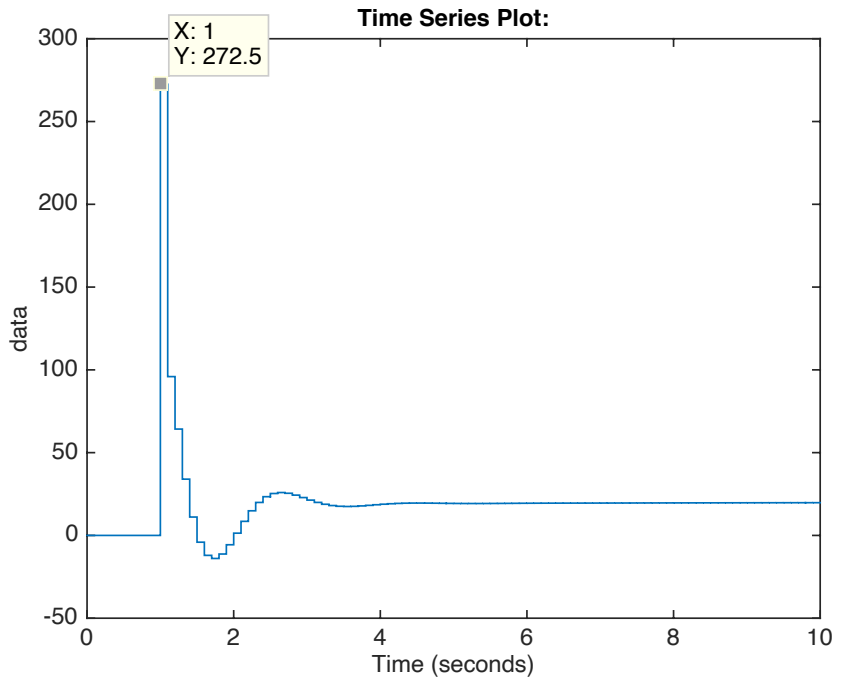
Mas repare nas amplitudes geradas para o sinal de controle (próxima página) -->

Amplitudes geradas para o sinal de controle (figura ao lado):

Note o valor elevado de amplitude gerado pelo PID.

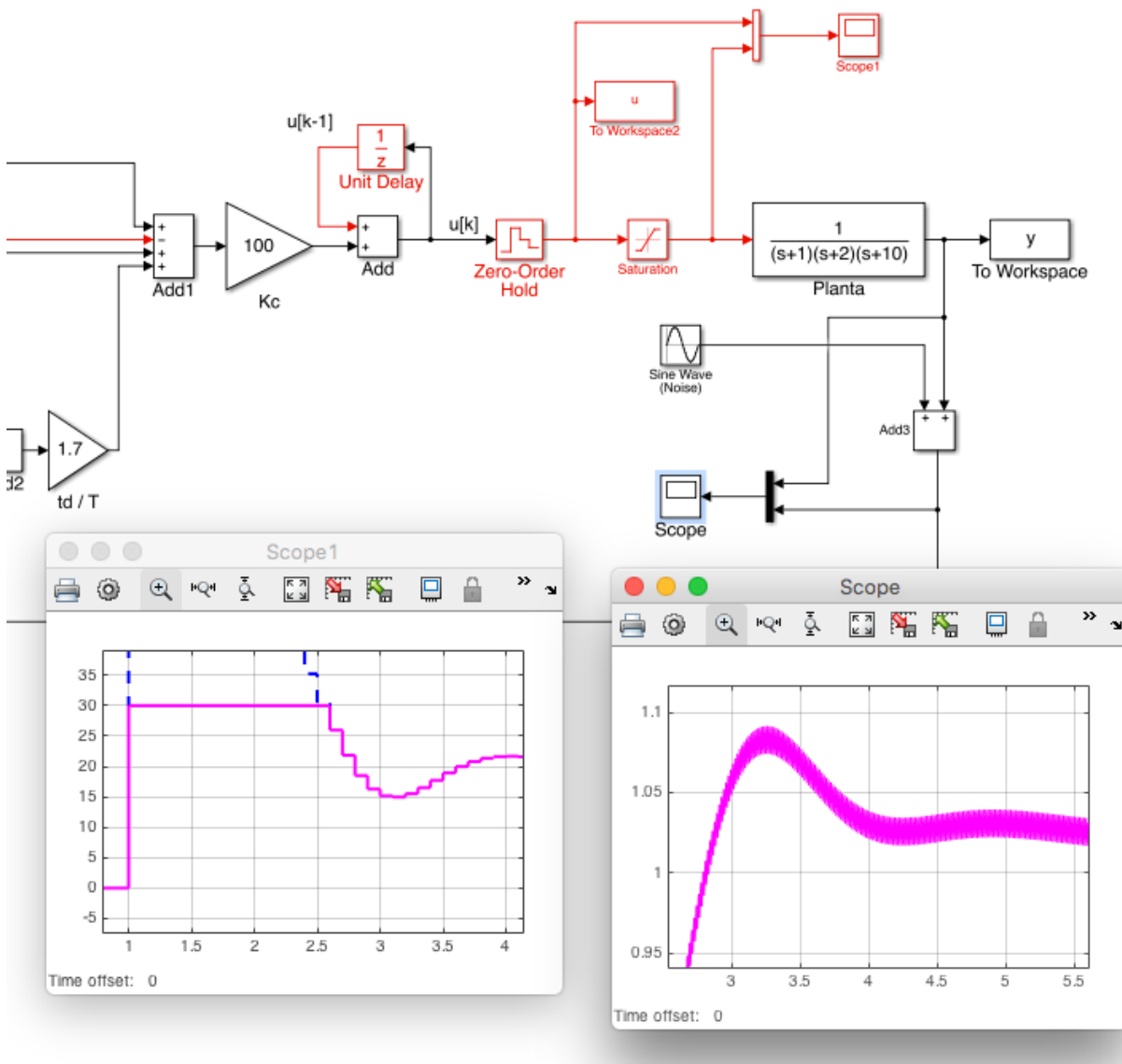
Considerando o projeto de um controlador realizado anteriormente (por Atraso), a amplitude máxima do sinal de controle que o driver da placa suporta é  $|30,0|$ .

Considerando este fato, introduzimos um bloco de saturação na saída do PID e verificamos o que sucede:

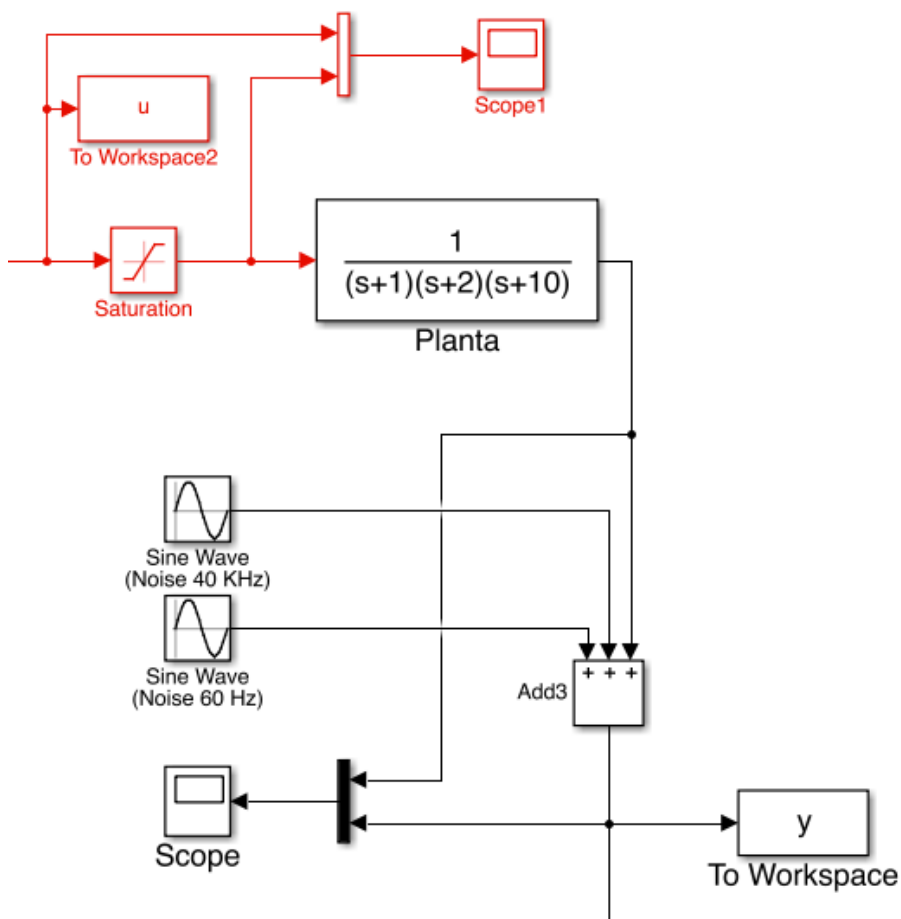


Continua -->

Mas a amplitude exagerado o sinal de controle pode não ser o único problema. Suponha que agregado ao sinal de saída do sistema está sobreposto um ruído (senóide de 60Hz com amplitude 0,01 — ou seja 1% da amplitude em regime permanente da planta).

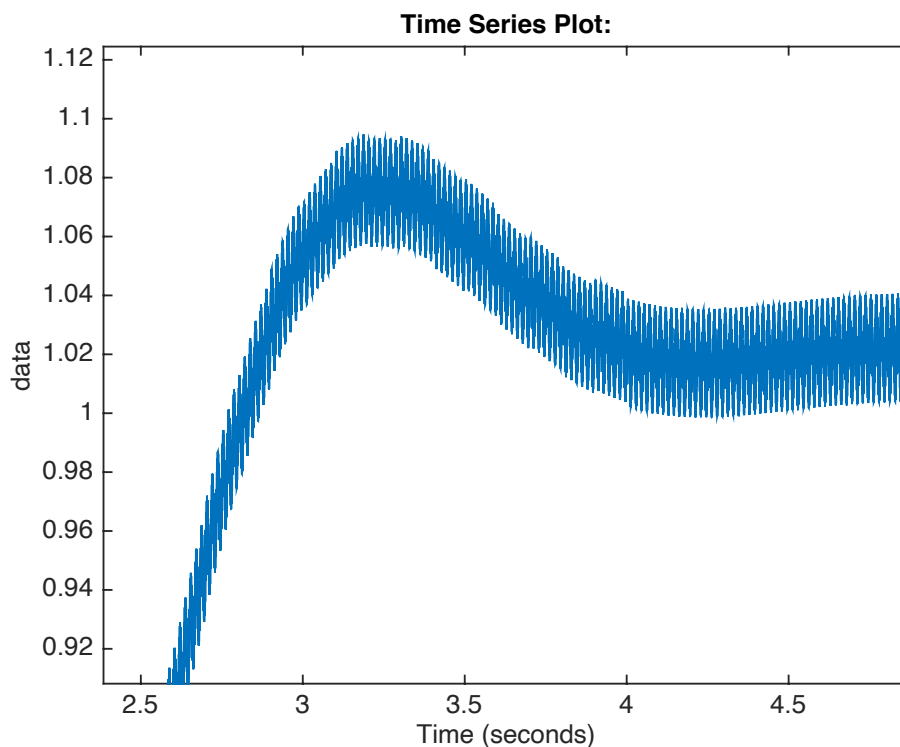


Continua -->



Suponha agora a mesma amplitude + mais um senoide de 40 KHz (ruído na rede provocado por fontes chateadas sem filtro de RF):

A saída do sistema se modifica para:





**ANEXO1:**

Script usado no MATLAB para calcular posição do zero com base em contribuição angular:  
Projeto do Controlador por Avanço de Fase (Lead Compensator):

```
angulos.m:_____
% programa para determinar contribuição de ângulos
% Fernando Passold, em 16/out/2015
% Baseado em "example_9_4.m" de /UCV/Control/ (2009)
% Lead Compensator Desing (NISE)
% Parâmetros de entrada:
% num = polinômio da FTMA(z), sem o zero de C(z)
% den = polinômio da FTMA(z), incluindo o pólo de C(z)
% zeta = fator de amortecimento desejado
% T = período de amostragem adotado
% Observação:
% sigma (plano-s) e new_sigma (plano-z) é calculado em função do ts desejado
% Sugestão, usar:
% >> [num,den,aux]=tfdata(tf_FTMA,'v')
%
open_poles = roots(den)
[num_poles aux] = size(open_poles);
open_zeros = roots(num)
[num_zeros aux] = size(open_zeros);
new_t_s = input('New settling time (desired): ? ');
wn=4/(zeta*new_t_s);
fprintf('Natural damping osc. frequency, wn = %.4f (rad/s)\n', wn);
sigma=wn*zeta;          % parte real do polo dominante no plano-s !
wd=wn*sqrt(1-zeta^2);  % parte imag do polo dominante no plano-s !
fprintf('Localização do pólo de MF no plano-s:\ns = %.4f +/- j%.4f\n', sigma,wd)
% falta calcular posição desejada para pólo de MF no plano-z
% usando definição da transformada-Z:
polos_MFs = sigma + j*wd;
polos_MFz = exp(-T*polos_MFs);
new_sigma = real(polos_MFz);
new_omega = abs(imag(polos_MFz));
fprintf('MF pole location on plan-z:\nz = %.4f +/- j%.4f\n', ..
    new_sigma,new_omega)

sump = 0;
fprintf('Angle Contribution of each pole of the open loop system:\n')
for i=1:num_poles
    % open_poles(i)
    % x(i) = -new_sigma - real(open_poles(i));
    x(i) = real(open_poles(i)) -new_sigma;
```

```

y(i) = new_omega;
th(i) = pi - atan2(y(i), x(i)); % determinando la contribución de cada polo
sump = sump + th(i);
% th(i)*180/pi
% fprintf('No. Pole : Pole : Angle Contribution\n')
fprintf (' p%1i = %.4f --> %.2f^o\n', i,open_poles(i),th(i)*180/pi)
end
fprintf('Sum of angular poles positions: %.2f^o\n', sump*180/pi)

fprintf('Angle Contribution of each zero of the open loop system:\n')
sumz=0;
for i=1:num_zeros
    % open_poles(i)
    % x(i) = -new_sigma - real(open_poles(i));
    x(i) = real(open_zeros(i)) -new_sigma;
    y(i) = new_omega;
    th(i) = pi - atan2(y(i), x(i)); % determinando la contribución de cada polo
    sumz = sumz + th(i);
    % th(i)*180/pi
    % fprintf('No. Pole : Pole : Angle Contribution\n')
    fprintf (' z%1i = %.4f --> %.2f^o\n', i,open_zeros(i),th(i)*180/pi)
end
fprintf('Sum of angular zeros positions: %.2f^o\n', sumz*180/pi)

final_angle = abs(pi - sump + sumz);
fprintf('Final Resulting angle for the extra Lead pole/zero: %.4f^o\n', final_angle*180/pi)

% pode-se determinar agora a posição para o zero ou pólo do Lead
fprintf('Ok, Evaluating the final position for the extra Lead pole/zero:\n')
pc=-(new_omega/tan(final_angle)-new_sigma);
fprintf('Final position for the extra Lead pole/zero: %.4f\n', pc)
% Seguiria nova figura gráfica plotando contribuição dos ângulos...
% Baseado no Exemplo 9-4 do NISE (adaptado do plano-s)

```

---

ANEXO<sub>2</sub>:

Script no MATLAB para auxiliar no projeto do controlador por avanço-atraso:

```

bode_gain_adjust.m
% Nise, N.S.
% Control Systems Engineering, 3rd ed.
% John Wiley & Sons, New York, NY, 10158-0012
%
% Control Systems Engineering Toolbox Version 3.0
% Copyright © 2000 by John Wiley & Sons, Inc.
% Chapter 11: Design via Frequency Response
%
% (ch11p1) Example 11.1: We can design via gain adjustment on the Bode plot using
% MATLAB. You will input the desired percent overshoot from the keyboard. MATLAB
% will calculate the required phase margin and then search the Bode plot for that
% phase margin. The magnitude at the phase-margin frequency is the reciprocal of
% the required gain. MATLAB will then plot a step response for that gain. Let us
% look at Example 11.1 in the text.

% disp('ch11p1) Example 11.1')    % Display label.
clear all
close all
numg=[1];                        % Define numerator of G(s).
deng=poly([-1 -2 -10]);          % Define denominator of G(s).
G=tf(numg,deng);                 % Create G(s).
zpk(G)                           % display G(s)
pos=input('Type %OS ?: ');      % Input desired percent overshoot.
z=(-log(pos/100))/(sqrt(pi^2+log(pos/100)^2));    % Calculate required damping ratio.
fprintf('\nRequired damping ratio: %6.4f\n', z)
Pm=atan(2*z/(sqrt(-2*z^2+sqrt(1+4*z^4))))*(180/pi); % Calculate required phase margin.
fprintf('Required phase margin, Pm = %7.4f°\n', Pm)

K=1;
fprintf('Input K (for start magnitud, K=%5.2f): ', K)
aux=input('? ');
if aux~=""
    K=aux;
end

w=0.1:0.01:100;                  % Set range of frequency from 0.01 to 1000 in steps of 0.01.
[Mag,P]=bode(K*numg,deng,w);     % Get Bode data.

figure;                          % Plot Bode diagram
subplot(2,1,1)

```

```

semilogx(w, 20.*log10(Mag));
%grid
aux=['Bode Diagram (K= ' num2str(K,'%5.2f') ' ');
title(aux)
ylabel('Magnitude (dB)');
subplot(2,1,2)
semilogx(w, P);
%grid
ylabel('Phase (deg)')
xlabel('Frequency (rad/sec)')

Ph=-180+Pm; % Calculate required phase angle.
fprintf('Required phase angle: %7.2f^\n', Ph)
u=length(P);
for k=1:1:u; % Search Bode data for required phase angle.
    if P(k)-Ph<=0; % If required phase angle is found, find the value of
        M=Mag(k); % magnitude at the same frequency.
        fprintf('Found at w = %5.2f (rad/s)\n', w(k))
        fprintf('with magnitude = %5.2f dB (%5.2g)\n', 20*log10(M), M)
        new_K=1/M; % Calculate the required gain.
        subplot(2,1,2)
        hold on
        semilogx([w(k) w(k)], [-180 0], 'm:')
        semilogx([w(1) w(u)], [P(k) P(k)], 'm:')
        aux=[num2str(w(k),'%3.2f') ' rad/s'];
        text(log10(w(k)),0, aux)
        subplot(2,1,1)
        hold on
        semilogx([w(k) w(k)], [0 20.*log10(Mag(k))], 'm:')
        semilogx([w(1) w(u)], [20.*log10(Mag(k)) 20.*log10(Mag(k))], 'm:')
        aux=[num2str(20*log10(M),'%5.2f') ' dB'];
        text(log10(w(k)), 20.*log10(Mag(k)), aux )
        break % Stop the loop.
    end % End if.
end % End for.
fprintf('Then, required K = %6.2f^\n', new_K)
k_final=K*new_K;
fprintf('Then, final required K = %6.2f^\n', k_final)
T=feedback(k_final*G,1); % Find T(s) using the calculated K.
figure; step(T) % Generate a step response.
title(['Closed-Loop Step Response for K= ',num2str(k_final)]) % Add title to step response.
% verificando diagrama de Bode compensado
figure; bode(G,k_final*G)

```

**ANEXO<sub>2</sub>:**

Revisão do script “angulos.m”, do Projeto do Compensador por Avanço de Fase. Nesta versão, o novo script mostra didaticamente como ocorre a contribuição angular.

Note que para entrar com novas plantas, é necessário modificar parte do código de “angulos2.m”, especificamente as variáveis num e den que registram o polinômio do numerador e denominador da planta à ser controlada, ainda no plano-s, e se for desejado modificar também o período de amostragem, a alocação  $T=0.1$  deve ser modificada também.

Segue exemplo de uso:

```
>> angulos2
```

Projeto Controlador por Avanço da Fase

Planta (no domínio-s:

```
1
```

```
-----
```

```
(s+10) (s+2) (s+1)
```

Continuous-time zero/pole/gain model.

```
T = 0.1000
```

Planta digitalizada, BoG(z):

```
0.00012224 (z+2.747) (z+0.1903)
```

```
-----
```

```
(z-0.9048) (z-0.8187) (z-0.3679)
```

Sample time: 0.1 seconds

Discrete-time zero/pole/gain model.

Entre com overshoot máximo desejado (%OS), em %: ? 5

zeta (fator de amortecimento) deve ser: 0.6901

Entre com tempo de assentamento desejado, ts: ? 1.63

Resulta na frequência de oscilação natural,  $\omega_n = 3.5560$  (rad/s)

Os pólos de MF (no plano-s) deveriam ficar localizados em:

```
2.4540 +/- j2.5735
```

Localização dos pólos de MF no plano-z:

```
z = 0.7566 +/- j0.1991
```

Indique a posição do pólo do controlador (plano-z): ? 0.15

O controlador ficaria algo como (sem o zero ainda):

```
1
```

```
-----
```

```
(z-0.15)
```

Sample time: 0.1 seconds

Discrete-time zero/pole/gain model.

FTMA(z) temporária:

```
0.00012224 (z+2.747) (z+0.1903)
```

```
-----
```

```
(z-0.9048) (z-0.8187) (z-0.3679) (z-0.15)
```

Sample time: 0.1 seconds

Discrete-time zero/pole/gain model.

```
open_poles =
    0.9048
    0.8187
    0.3679
    0.1500
open_zeros =
    -2.7471
    -0.1903
```

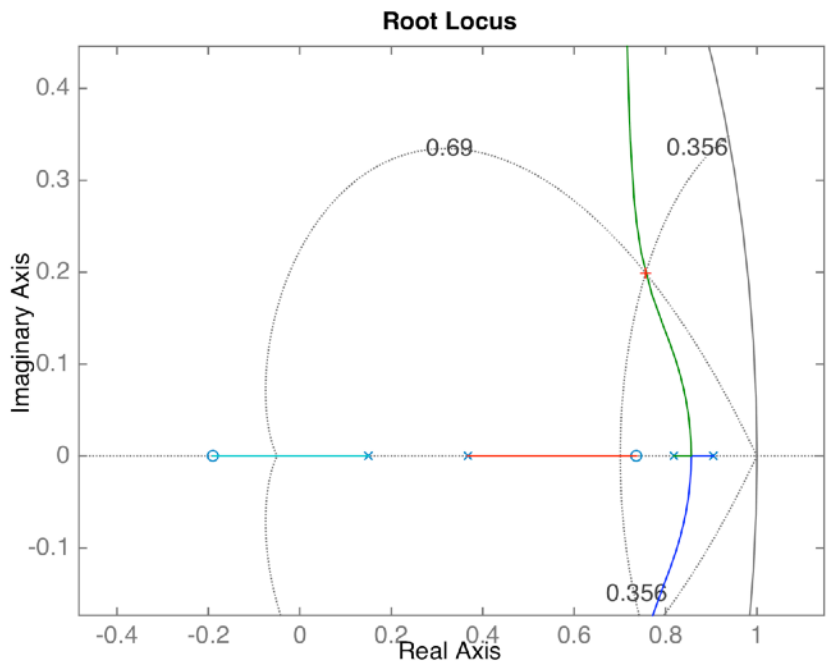
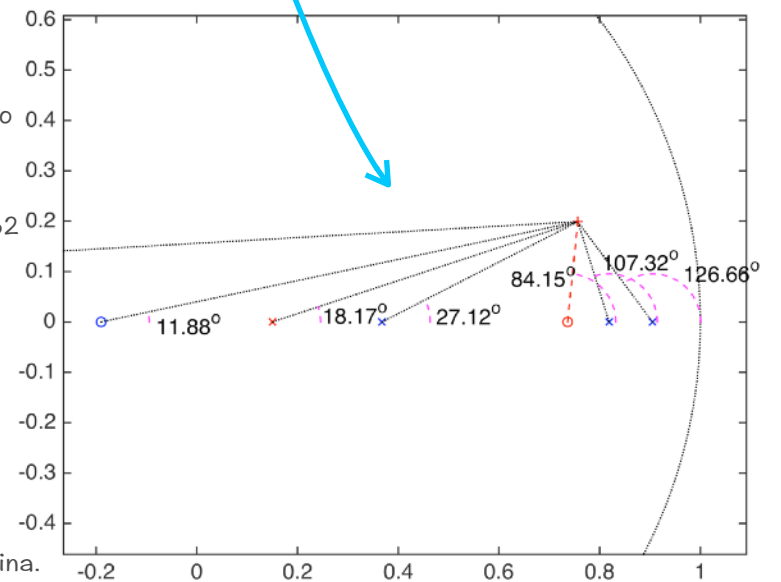
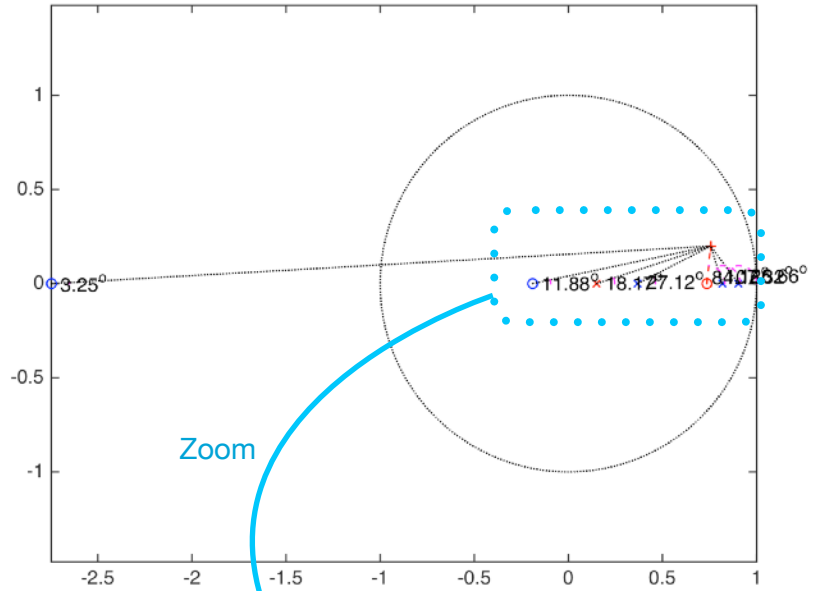
Contribuição angular de cada pólo no plano-z:  
 p1 = 0.9048 --> 126.66°  
 p2 = 0.8187 --> 107.32°  
 p3 = 0.3679 --> 27.12°  
 p4 = 0.1500 --> 18.17°  
 Somatório contribuição angular dos pólos: 279.28°  
 Pause... [enter]

Contribuição angular de cada zero no plano-z:  
 z1 = -2.7471 --> 3.25°  
 z2 = -0.1903 --> 11.88°  
 Somatório contribuição angular dos zeros: 15.13°  
 Ângulo final para o zero de C(z): 84.1486°  
 Ok, determinando a posição para o zero de C(z):  
 Final position for the extra Lead pole/zero: 0.7362  
 O controlador por avanço de fase fica:

```
(z-0.7362)
-----
(z-0.15)
```

Sample time: 0.1 seconds  
 Discrete-time zero/pole/gain model.  
 >>

Este script gera os gráficos mostrados nesta página.



Obs.: o script "angulos2.m", exige a function (script) "arc.m" para funcionar.

Seguem os códigos:

**angulos2.m:**

```

% programa para determinar contribuição de ângulos
% Fernando Passold, em 16/out/2015
% Baseado em "example_9_4.m" de /UCV/Control/ (2009)
% Lead Compensator Desing (NISE)
%
fprintf('Projeto Controlador por Avanço da Fase\n\n');
% entrando com dados da planta, no plano-s (transformada de Laplace):
num=1;
den=poly([-10 -2 -1]);
G=tf(num,den);
fprintf('Planta (no domínio-s):\n');
zpk(G)
T=0.1 % informando período de amostragem
BoG=c2d(G, T);
fprintf('Planta digitalizada, BoG(z):\n');
zpk(BoG)
[numd, dend, aux] = tfdata(BoG,'v');
OS=input('Entre com overshoot máximo desejado (%OS), em %: ? ');
% calculando fator de amortecimento em função de %OS:
zeta=(-log(OS/100))/(sqrt(pi^2+(log(OS/100)^2)));
fprintf('zeta (fator de amortecimento) deve ser: %6.4f\n', zeta)
ts_d=input('Entre com tempo de assentamento desejado, ts: ? ');
% determinando wn em função de zeta e ts:
wn=4/(zeta*ts_d);
fprintf('Resulta na frequência de oscilação natural, wn = %7.4f (rad/s)\n', wn);
% calculando a posição desejado para pólos de malha-fechada:
% polos_MF em sigma +- jwd
sigma=wn*zeta;
wd=wn*sqrt(1-zeta^2);
fprintf('Os pólos de MF (no plano-s) deveriam ficar localizados em:\n%6.4f +/- j%6.4f\n', ...
    sigma, wd);
% mas nosso controlador está sendo projetado no mundo "digital" (plano-z),
% então aplicando a definição da transformada Z: z = e^{-Ts}:
polo_MFs=sigma - j*wd;
polo_MFz=exp(-T*polo_MFs);
new_sigma = real(polo_MFz);
new_omega = abs(imag(polo_MFz));
fprintf('Localização dos pólos de MF no plano-z:\n z = %4f +/- j%4f\n', ...
    new_sigma, new_omega)

% usuário deve agora arbitrar uma posição para o pólo do controlador por
% avanço de fase:
polo_c=input('Indique a posição do pólo do controlador (plano-z): ? ');
% montando controlador digital (sem o zero, à ser calculando usando
% contribuição angular
num_c=1;
den_c=poly(polo_c);
fprintf('O controlador ficaria algo como (sem o zero ainda):\n');
C=tf(num_c, den_c, T);

```

```

zpk(C)
fprintf('FTMA(z) temporária:\n');
ftma=C*BoG;
zpk(ftma)
[num,den,aux]=tfdata(ftma,'v');
% determinando número de pólos de MA:
open_poles = roots(den)
[num_poles aux] = size(open_poles);
% determinando número de zeros de MA:
open_zeros = roots(num)
[num_zeros aux] = size(open_zeros);

% Iniciando cálculos e gráficos relacionados com contribuição angular:
figure;
% plotando o círculo unitário (referência):
th=0: (2*pi)/360 : 2*pi;
x=1*cos(th);
y=1*sin(th);
plot(x,y,'k:');
axis ('equal');
hold on
% plotando em cor azul pólos e zeros de BoG(z)
[num_BoG, den_BoG, aux] = tfdata(BoG, 'v');
polos_BoG=roots(den_BoG);
zeros_BoG=roots(num_BoG);
plot(real(zeros_BoG), imag(zeros_BoG),'bo'); % zeros de BoG(z)
plot(real(polos_BoG), imag(polos_BoG),'bx'); % pólos de BoG(z)
% plotando em cor vermelha o pólo de C(z):
plot(real(polo_c), 0,'rx');
% plotando posição desejado para pólo de MF:
plot(real(polo_MFz), imag(polo_MFz),'r+');

% Iniciando cálculos das contribuições angulares.

% linha pontilhada ligando pólos de MA ao pólo de MF
for i=1:num_poles,
    plot(real([open_poles(i) polo_MFz]), imag([open_poles(i) polo_MFz]),'k:') % traça linhas pontilhadas
ligando cada pólo de MA ao pólo desejado em MF
end
sump = 0; % soma angulos dos pólos (contribuição angular pólos)
fprintf('Contribuição angular de cada pólo no plano-z:\n')
sum_aux=0;
for i=1:num_poles
    x(i) = real(polo_MFz) - real(open_poles(i));
    y(i) = imag(polo_MFz) - imag(open_poles(i));
    theta(i) = atan2(y(i), x(i)); % determinando la contribución de cada polo
    theta_deg(i)=(theta(i)*180)/pi; % angulo em graus
    sump = sump + theta(i);
    fprintf (' p%1i = %.4f --> %.2f^o\n', i, open_poles(i), theta_deg(i))
    sum_aux=sum_aux+sqrt(x(i)^2+y(i)^2); % calcula distâncias entre pólos

```



```

end
avg=(sum_aux/num_poles)/4; % valor médio raio arco das contribuições angulares
% plotando as contribuições angulares:
for i=1:num_poles,
    p1=[real(open_poles(i))+avg; 0]; % matriz 2 x 1; [x; y]
    p2=[real(open_poles(i))+avg*cos(theta(i)); avg*sin(theta(i)) ];
    center=[real(open_poles(i)); 0];
    arc(p1, p2, center);
    aux=num2str(theta_deg(i),'%7.2f'); % transforma número em string
    text(real(open_poles(i))+ (avg/2)*cos( (theta(i)/1.5) ), ...
        (avg/2)*sin( (theta(i)/1.5) ), [aux '^o']);
end
fprintf('Somatório contribuição angular dos pólos: %.2f^o\n', sump*180/pi)

n=input('Pause...','s');

% linha pontilhada ligando zeros de MA ao pólo de MF
for i=1:num_zeros,
    plot(real([open_zeros(i) polo_MFz]), imag([open_zeros(i) polo_MFz]),'k:') % traça linhas pontilhadas
ligando cada pólo de MA ao pólo desejado em MF
end
fprintf('Contribuição angular de cada zero no plano-z:\n')
sumz=0;
for i=1:num_zeros
    x(i) = real(polo_MFz) - real(open_zeros(i));
    y(i) = imag(polo_MFz) - imag(open_zeros(i));% new_omega;
    theta(i) = atan2(y(i), x(i)); % determinando la contribución de cada zero
    theta_deg(i)=(theta(i)*180)/pi; % angulo em graus
    sumz = sumz + theta(i);
    fprintf(' z%1i = %.4f --> %.2f^o\n', i, open_zeros(i), theta_deg(i))
end
% plotando as contribuições angulares dos zeros
for i=1:num_zeros,
    p1=[real(open_zeros(i))+avg; 0]; % matriz 2 x 1; [x; y]
    p2=[real(open_zeros(i))+avg*cos(theta(i)); avg*sin(theta(i)) ];
    center=[real(open_zeros(i)); 0];
    arc(p1, p2, center);
    aux=num2str(theta_deg(i),'%7.2f'); % transforma número em string
    text(real(open_zeros(i))+ (avg/2)*cos( (theta(i)/1.5) ), ...
        (avg/2)*sin( (theta(i)/1.5) ), [aux '^o']);
end
fprintf('Somatório contribuição angular dos zeros: %.2f^o\n', sumz*180/pi)

final_angle = abs(pi - sump + sumz);
fprintf('Ângulo final para o zero de C(z): %.4f^o\n', final_angle*180/pi)

% pode-se determinar agora a posição para o zero ou pólo do Lead
fprintf('Ok, determinando a posição para o zero de C(z):\n')
zc=-(new_omega/tan(final_angle)-new_sigma);
fprintf('Final position for the extra Lead pole/zero: %.4f\n', zc)

```

```

% plotando o gráfico com o zero resultante:
plot(real(zc), imag(zc),'ro');
plot(real([zc polo_MFz]), imag([zc polo_MFz]),'r--')
p1=[real(zc)+avg; 0]; % matriz 2 x 1; [x; y]
p2=[real(zc)+avg*cos(final_angle); avg*sin(final_angle) ];
center=[real(zc); 0];
arc(p1, p2, center);
aux=num2str( (final_angle*180/pi) , '%7.2f'); % transforma número em string
text(real(zc)+(avg/2)*cos( final_angle/1.5 ), ...
(avg/2)*sin( final_angle/1.5 ), [aux '^o']);
num_c=poly(zc);
C=tf(num_c, den_c, T);
fprintf('O controlador por avanço de fase fica:\n');
zpk(C)
% Verificando...
figure;
ftma=C*BoG;
rlocus(ftma);
hold on
zgrid(zeta, wn*T);
% plotando posição desejado para pólo de MF:
plot(real(polo_MFz), imag(polo_MFz),'r+');

```

#### arc.m:

```

% function arc.m
% Fernando Passold, em 25/05/2016
% baseado em: http://www.mathworks.com/matlabcentral/newsreader/view\_thread/278048
%
% Parâmetros de entrada:
% p1 = ponto de partida do arco;
% p2 = ponto de chegada do arco;
% center = ponto (centro) do arco;
% Detalhe: p1, p2, center envolvem vetor de 2 dimensões, contendo
% por exemplo:
% p1(1)=coordenada X (ou parte real de número complexo)
% p1(2)=coordenada Y (ou parte imaginária de número complexo)
% esta função só gera saída gráfica, então se
% pressupõe que já foi enviado antes comando como
% 'hold on'
function arc(p1,p2,center)
    n=20; % numero de pontos dentro do arco
    v1=p1-center;
    v2=p2-center;
    % v3=[0 -1;1 0]*v1; % v1 rotated 90 degrees CCW
    c = det([v1,v2]); % "cross product" of v1 and v2
    v3 = [0, -c; c, 0]*v1; % v3 lies in plane of v1 and v2 and is orthog. to v1
    % a = linspace(0, mod(atan2(det([v1, v2]), dot(v1, v2)), 2*pi)); % Angle range
    a = linspace(0, atan2(abs(c), dot(v1,v2)), n); % Angle range
    % Note the absence of the 'abs' function in 'atan2'

```

```
% v = v1*cos(a)+v3*sin(a);  
v = v1*cos(a)+((norm(v1)/norm(v3))*v3)*sin(a); % Arc, center at (0,0)  
plot(v(1,:)+center(1),v(2,:)+center(2),'m--'); % Plot arc, centered at 'center'  
axis equal  
end
```